
Solutions du CLRS 3 *ed.*

Exercices : (102/28/957)
Problems : (1/6/158)

16 mars 2018

Table des matières

Liste des Algorithmes	v
1 The Role of Algorithms in Computing	1
1.1 Algorithms	1
1.2 Algorithms as a technology	2
1.3 Problems	2
2 Getting Started	4
2.1 Insertion Sort	4
2.2 Analyzing algorithms	6
2.3 Designing algorithms	7
2.4 Problems	11
3 Growth of Functions	13
3.1 Asymptotic notation	13
3.2 Standard notations and common functions	13
4 Divide-and-Conquer	14
4.1 The maximum-subarray problem	14
4.2 Strassen's algorithm for matrix multiplication	16
4.3 The substitution method for solving recurrences	18
4.4 The recursion-tree method for solving recurrences	20
4.5 The master method for solving recurrences	20
5 Probabilistic Analysis and Randomized Algorithms	23
5.1 The hiring problem	23
I Sorting and Order Statistics	25
6 Heapsort	26
6.1 Heaps	26
6.2 Maintaining the heap property	27
6.3 Building a heap	30
6.4 The heapsort algorithm	32
6.5 Priority queues	34
7 Quicksort	37
7.1 Description of quicksort	37

7.2	Performance of quicksort	37
7.3	A randomized version of quicksort	37
7.4	Analysis of quicksort	37
8	Sorting in Linear Time	38
8.1	Lower bounds for sorting	38
8.2	Counting sort	38
8.3	Radix sort	38
8.4	Bucket sort	38
9	Medians and Order Statistics	39
 II Data Structures		 40
10	Elementary Data Structures	41
10.1	Stacks and queues	41
10.2	Linked lists	45
10.3	Implementing pointers and objects	46
10.4	Representing rooted trees	46
	Problems	46
11	Hash Tables	47
11.1	Direct-address tables	47
11.2	Hash tables	47
11.3	Hash functions	47
11.4	Open addressing	47
11.5	Perfect Hashing	47
12	Binary Search Trees	48
12.1	What is a binary search tree?	48
13	Red-Black Trees	50
14	Augmenting Data Structures	51
15	Dynamic Programming	52
16	Greedy Algorithms	53
17	Amortized Analysis	54

III	Advanced Data Structures	55
18	B-Trees	56
19	Fibonacci Heaps	57
20	van Emde Boas Trees	58
21	Data Structures for Disjoint Sets	59
IV	Graph Algorithms	60
22	Elementary Graph Algorithms	61
22.1	Representations of graphs	61
22.2	Breadth-first search	64
23	Minimum Spanning Trees	65
24	Single-Source Shortest Paths	66
25	All-Pairs Shortest Paths	67
26	Maximum Flow	68
26.1	Flow networks	68
27	Multithreaded Algorithms	70
28	Matrix Operations	71
29	Linear Programming	72
30	Polynomials and the FFT	73
31	Number-Theoretic Algorithms	74
32	String Matching	75
32.1	The naive string-matching algorithm	75
32.2	The Rabin-Karp algorithm	77
33	Computational Geometry	80
34	NP-Completeness	81

35	Approximation Algorithms	82
V	Appendix : Mathematical Background	83
A	Summation	84
	A.1 Summation formulas and properties	84
	A.2 Bounding summations	86
	Problems	87
B	Sets, Etc.	88
C	Counting and Probability	89
	C.1 Counting	89
D	Matrices	93
	D.1 Matrices and matrix operations	93
	D.2 Basic matrix properties	93
	Références	94

Liste des Algorithmes

1	Decr-Insertion-Sort	5
2	Linear-Search	5
3	Add-Binary-Integer	6
4	Selection-Sort	7
5	Merge	9
6	Rec-Bin-Search	10
7	Sum-Search	11
8	Brute-Find-Max-Subarray	14
9	Linear-Find-Max-Subarray	15
10	Add-Complex-Number	18
11	Random	23
12	Unbiased-Random	24
13	Min-Heapify	29
14	Iterative-Max-Heapify	30
15	Enqueue-With-Counter	44
16	Dequeue-With-Counter	44
17	Enqueue-At-Other-End	44
18	Dequeue-At-Other-End	45
19	Bit-Vector-Search	47
20	Bit-Vector-Insert	47
21	Bit-Vector-Delete	47
22	Transpose-Adj-List	62
23	Transpose-Adj-Matrix	62
24	Multigraph-To-Undigraph	63
25	Square-of-Adj-Matrix	63
26	Square-of-Adj-List	64
27	Have-Universal-Sink	64
28	Naive-String-Matcher-Diff	76
29	Naive-String-Matcher-With-Gap	77
30	Rabin-Karp-Matcher- k -Patterns-Same-Length	78
31	Rabin-Karp-Matcher-With- k -Patterns-Diff-Length	78

1 The Role of Algorithms in Computing

1.1 Algorithms

1.1-1 *Give a real-world example that requires sorting or a real-world example that requires computing a convex hull.*

Solution :

— Tri :

- Tri de cartes ;
- Tri des prix en *e-shopping*.

— Enveloppe convexe : « The problem of finding convex hulls finds its practical applications in pattern recognition, image processing, statistics, geographic information system, game theory, construction of phase diagrams, and static code analysis by abstract interpretation. It also serves as a tool, a building block for a number of other computational-geometric algorithms such as the rotating calipers method for computing the width and diameter of a point set. » [1]

■

1.1-2 *Other than speed, what other measures of efficiency might one use in a real-world setting?*

Solution : La mémoire (l'espace) et l'utilisation de ressources.

■

1.1-3 *Select a data structure that you have seen previously, and discuss its strengths and limitations.*

Solution : Un simple exemple serait la comparaison de liste chaînée et de tableau :

— liste chaînée :

- ✓ la taille de liste chaînée peut varier suivant le temps ;
- ✓ l'insertion et la suppression d'éléments de la liste peuvent être réalisés facilement ;
- ✗ requiert davantage mémoire pour stocker les références ;
- ✗ accès séquentiel d'élément.

— tableau :

- ✓ accès aléatoire d'élément ;
- ✗ la taille du tableau est fixée dès sa déclaration ;
- ✗ l'insertion et la suppression d'élément requièrent une réallocation du tableau, ce qui est coûteux.

■

1.1-4 *How are the shortest-path and traveling-salesman problems given above similar? How are they different?*

Solution : La similitude des deux problèmes est la recherche d'un parcours sur un graphe. La différence est que le TSP contient plus de contraintes : on cherche un cycle hamiltonien suffisamment court (ou le optimal si possible) parmi les nœuds donnés tandis qu'au *shortest-path problem* on cherche le plus court parcours entre deux nœuds. ■

1.1-5 *Come up with a real-world problem in which only the best solution will do. Then come up with one in which a solution that is "approximately" the best is good enough.*

Solution : Cela est l'étude centrale de l'analyse numérique. On se contente d'avoir des résultats approximatifs avec une précision satisfaisante. ■

1.2 Algorithms as a technology

1.2-1 *Give an example of an application that requires algorithmic content at the application level, and discuss the function of the algorithms involved.*

Solution :

1.2-2 *Suppose we are comparing implementations of insertion sort and merge sort on the same machine. For inputs of size n , insertion sort runs in $8n^2$ steps, while merge sort runs in $64n \lg n$ steps. For which values of n does insertion sort beat merge sort?*

Solution : On cherche $N \in \mathbb{N}$ tel que $8N^2 < 64N \lg N$, ce qui revient à trouver les $N > 1$ qui vérifie $\frac{N}{\lg N} < 8$. D'après [Wolfram Alpha](#), $N < 43.56$, donc lorsque $N \in \llbracket 1, 43 \rrbracket$, le tri d'insertion est plus efficace que le tri fusion. ■

1.2-3 *What is the smallest value of n such that an algorithm whose running time is $100n^2$ runs faster than an algorithm whose running time is 2^n on the same machine?*

Solution : On cherche l'entier obtenu par la solution de $100n^2 = 2^n$ arrondi par excès. D'après [Wolfram Alpha](#) on trouve que $n > 14.324$, donc $n = 15$. ■

1.3 Problems

1-1 Comparison of running times

For each function $f(n)$ and time t in the following table, determine the largest size n of a problem that can be solved in time t , assuming that the algorithm to solve the problem takes $f(n)$ microseconds.

Solution :



2 Getting Started

2.1 Insertion Sort

2.1-1 Using Figure 2.2 as a model, illustrate the operation of INSERTION-SORT on the array $A = \langle 31, 41, 59, 26, 41, 58 \rangle$.

Solution :

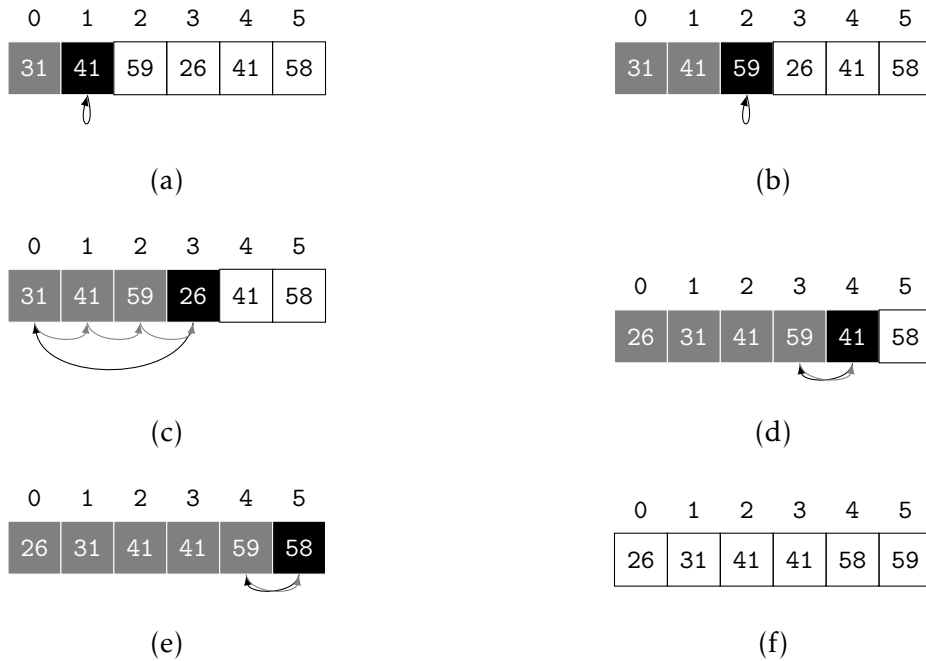


FIGURE 1 – Tri par insertion sur le tableau $A = \langle 31, 41, 59, 26, 41, 58 \rangle$.

■

2.1-2 Rewrite the INSERTION-SORT procedure to sort into non-increasing instead of non-decreasing order.

Solution :

Algorithme 1. DECR-INSERTION-SORT (A)

```
1  for  $j \leftarrow 2$  to  $A.length$ 
2     $key \leftarrow A[j]$ 
3    // Insert  $A[j]$  into the sorted sequence  $A[1..j-1]$ .
4     $i \leftarrow j - 1$ 
5    while  $i > 0$  and  $A[i] < key$ 
6       $A[i + 1] \leftarrow A[i]$ 
7       $i \leftarrow i - 1$ 
8     $A[i + 1] \leftarrow key$ 
```



2.1-3 Consider the **searching problem** :

Input : A sequence of n numbers $A = \langle a_1, a_2, \dots, a_n \rangle$ and a value v .

Output : An index i such that $v = A[i]$ or the special value `NIL` if v does not appear in A .

Write pseudocode for **linear search**, which scans through the sequence, looking for v . Using a loop, prove that your algorithm is correct. Make sure that your loop invariant fulfills the three necessary properties.

Solution :

Algorithme 2. LINEAR-SEARCH (A, v)

```
1   $i \leftarrow 1$ 
2  while  $i \leq A.length$  and  $A[i] \neq v$ 
3     $i = i + 1$ 
4  if  $i \leq A.length$ 
5    return  $i$ 
6  else
7    return NIL
```

— Initialisation : $i = 1$

$[1..i-1]$ est vide, donc ne contient pas v .

— Conservation

Pour tout $1 \leq i \leq A.length$, pour la boucle i , on a $[1..i-1]$ ne contenant pas v . Le corps de la boucle est exécuté si et seulement si $A[i] \neq v$ et que $i \leq A.length$. Dans ce cas, avant l'itération $i + 1$, le sous-tableau $[1..i]$ ne contient pas v .

— Terminaison

Il y a deux cas de terminaison :

- quand $i = A.length + 1$, l'algorithme retourne NIL et l'invariant de boucle confirme (en substituant i par $A.length + 1$) que le tableau $[1..A.length]$ ne contient v ;
- il existe un $1 \leq i \leq A.length$ tel que $A[i] = v$, l'invariant de boucle dit que $[1..i-1]$ ne contient pas v , ce qui est vraie. Dans ce cas l'algorithme retourne i .

■

2.1-4 Consider the problem of adding two n -bit binary integers, stored in two n -element arrays A and B . The sum of the two integers should be stored in binary form in an $(n + 1)$ -element array C . State the problem formally and write pseudocode for adding the two integers.

Solution :

Input : Deux nombres binaires a et b sous forme de vecteur $A = \langle a_1, \dots, a_n \rangle$ et $B = \langle b_1, \dots, b_n \rangle$ tel que pour tout $i \in \llbracket 1, n \rrbracket, a_i, b_i \in \{0, 1\}$. Avec l'indice $i = 1$ désignant le bit le plus significatif.

Output : Le vecteur $C = \langle c_1, \dots, c_{n+1} \rangle$ qui représente $c = a + b$ en binaire.

Algorithme 3. ADD-BINARY-INTEGER (A, B)

```

1  carry ← 0
2  for i = n downto 1
3      tmp ← A[i] + B[i] + carry
4      C[i + 1] ← tmp mod 2
5      carry ← tmp/2
6  C[i] ← carry

```

■

2.2 Analyzing algorithms

2.2-1 Express the function $n^3/1000 - 100n^2 - 100n + 3$ in terms of Θ -notation.

Solution : $\Theta(n^3)$

■

2.2-2 Consider sorting n numbers stored in array A by first finding the smallest element of A and exchanging it with the element in $A[1]$. Then find the second smallest element of A , and exchange it with $A[2]$. Continue in this manner for the first $n - 1$ elements of A . Write pseudocode for this algorithm, which is known as **selection sort**. What loop invariant does this algorithm maintain? Why does it need to run for only the first $n - 1$ elements, rather than for all n elements? Give the best-case and worst-case running times of selection sort in Θ -notation.

Solution :

Algorithme 4. SELECTION-SORT (A)

```
1  for i = 1 to n - 1
2      min ← i
3      for j = i + 1 to n
4          if A[min] > A[j]
5              min ← j
6      if min ≠ j
7          swap(A, min, j)
```

— Invariant de boucle :

Le tableau $[1..i-1]$ est trié avant la i ème itération et tous les éléments dans $[i..n]$ sont supérieurs à ceux dans $[1..i-1]$.

— À la $n-1$ itération, le tableau $[1..n-2]$ est trié, il ne reste plus qu'à comparer $A[n-1]$ et $A[n]$.

— Temps d'exécution :

- Cas optimal : A déjà trié, $\Theta(n^2)$;
- Cas le plus défavorable : A trié de façon décroissante, $\Theta(n^2)$.

■

2.2-3 Consider linear search again (see Exercise 2.1-3). How many elements of the input sequence need to be checked on the average, assuming that the element being searched for is equally likely to be any element in the array? How about in the worst case? What are the average-case and worst-case running times of linear search in Θ -notation? Justify your answers.

Solution :

— Cas moyen : $\frac{1}{n} \sum_{i=1}^n i = \frac{n+1}{2}$;

— Cas le plus défavorable : $n + 1$.

Donc $\Theta(n)$ dans les deux cas.

■

2.2-4 How can we modify almost any algorithm to have a good best-case running time?

Solution : Tester au début de l'algorithme la nature de l'entrée, si celle-ci vérifie une certaine condition, retourner un résultat calculé préalablement.

■

2.3 Designing algorithms

2.3-1 Using Figure 2.4 as a model, illustrate the operation of merge sort on the array $A = \langle 3, 41, 52, 26, 38, 57, 9, 49 \rangle$.

Solution :

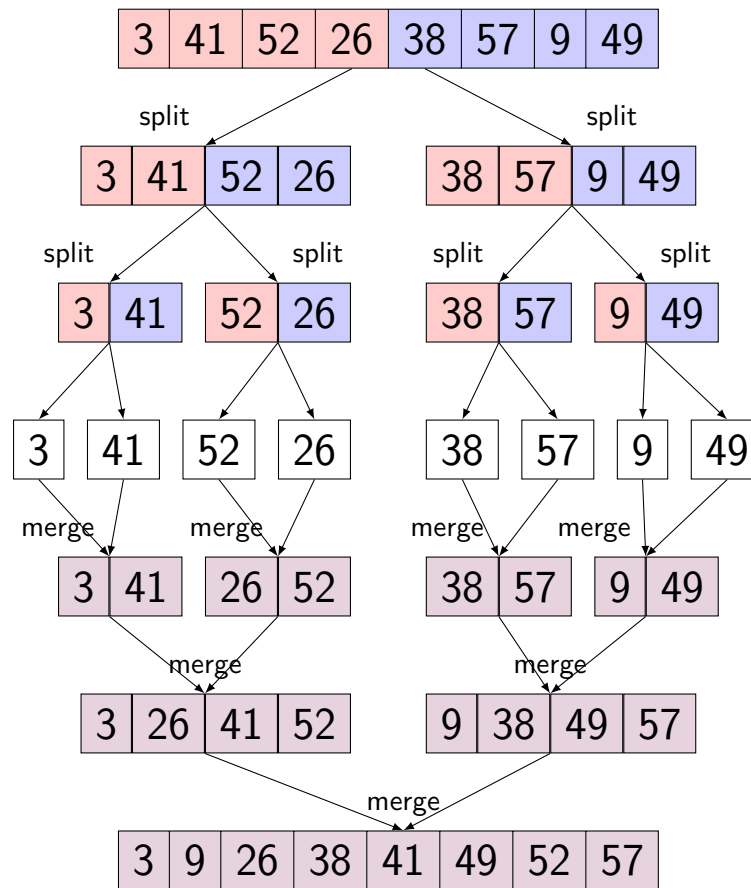


FIGURE 2 – Tri fusion sur le tableau $A = \langle 3, 41, 52, 26, 38, 57, 9, 49 \rangle$.

— éléments de droite — éléments de gauche — éléments fusionnés (ordonnés).



2.3-2 Rewrite the MERGE procedure so that it does not use sentinels, instead stopping once either array L or R has had all its elements copied back to A and then copying the remainder of the other array back into A.

Solution :

Algorithme 5. MERGE (A, p, q, r)

```

1   $n_1 \leftarrow q - p + 1$ 
2   $n_2 \leftarrow r - q$ 
3  Let  $L[1..n_1]$  and  $R[1..n_2]$  be new arrays
4  for  $i = 1$  to  $n_1$ 
5       $L[i] \leftarrow A[p + i - 1]$ 
6  for  $j = 1$  to  $n_2$ 
7       $R[j] \leftarrow A[q + j]$ 
8   $i = 1$ 
9   $j = 1$ 
10 for  $k = p$  to  $r$ 
11     if  $j == n_2 + 1$  or  $(i \leq n_1$  and  $L[i] \leq R[j])$ 
12          $A[k] = L[i]$ 
13          $i = i + 1$ 
14     else
15          $A[k] = R[j]$ 
16          $j = j + 1$ 

```

■

2.3-3 Use mathematical induction to show that when n is an exact power of 2, the solution of the recurrence

$$T(n) = \begin{cases} 2 & \text{if } n = 2, \\ 2T(n/2) + n & \text{if } n = 2^k, \text{ for } k > 1 \end{cases}$$

is $T(n) = n \lg n$.

Solution : Soit $n = 2^p$, avec $p \in \mathbb{N}^*$.

— Initialisation : $T(2) = 2 \lg 2 = 2$ est vraie.

— Hérédité : Soit $k < p$ et supposons que $T(2^k) = 2^k \lg 2^k = 2^k k$.

Alors $T(2^{k+1}) = 2T(2^k) + 2^{k+1} = 2^{k+1}(k + 1)$.

— Conclusion : Pour tout $p \in \mathbb{N}^*$, on a bien $T(2^p) = 2^p p$.

■

2.3-4 We can express insertion sort as a recursive procedure as follows. In order to sort $A = [1..n]$, we recursively sort $A = [1..n - 1]$ and then insert $A[n]$ into the sorted array $A[1..n - 1]$ Write a recurrence for the running time of this recursive version of insertion sort.

Solution :

$$T(n) = \begin{cases} \Theta(1) & \text{if } n = 1 \\ T(n - 1) + \Theta(n) & \text{otherwise} \end{cases}$$



2.3-5 Referring back to the searching problem (see Exercise 2.1-3), observe that if the sequence A is sorted, we can check the midpoint of the sequence against v and eliminate half of the sequence from further consideration. The **binary search** algorithm repeats this procedure, halving the size of the remaining portion of the sequence each time. Write pseudocode, either iterative or recursive, for binary search. Argue that the worst-case running time of binary search is $\Theta(\lg n)$.

Solution :

Algorithm 6. REC-BIN-SEARCH (A, p, q, v)

```

1  mid ← ⌊(p + q)/2⌋
2  if A[mid] < v
3      REC-BIN-SEARCH(A, r + 1, q, v)
4  else if A[mid] > v
5      REC-BIN-SEARCH(A, p, mid - 1, v)
6  else if A[mid] == v
7      return mid
8  else
9      return NIL

```

Calculons le temps d'exécution au cas le plus défavorable. On a :

$$T(n) = \begin{cases} \Theta(1) & \text{if } n = 1 \\ T(n/2) + \Theta(1) & \text{otherwise} \end{cases} .$$

Supposons que $n = 2^p$, alors par la méthode d'arbre récursive, on a un arbre dégénéré de hauteur p dans lequel chaque nœud est étiqueté par une constante c . Il suffit donc de calculer

$$\begin{aligned} \sum_{i=0}^p c &= (p + 1)c \\ &= (\lg n + 1)c \\ &= \Theta(\lg n). \end{aligned}$$



2.3-6 Observe that the **while** loop of lines 5–7 of the INSERTION-SORT procedure in Section 2.1 uses a linear search to scan (backward) through the sorted subarray $A[1..j-1]$. Can we use a binary search (see Exercise 2.3-5) instead to improve the overall worst-case running time of insertion sort to $\Theta(n \lg n)$?

Solution : Non. Dans la boucle **tant que**, on effectue deux tâches :

1. la recherche linéaire de l'emplacement auquel on insère l'élément : $\Theta(n)$;
2. le décalage de tous les éléments après cet emplacement : $\Theta(n)$.

Remplacer la recherche linéaire par la recherche dichotomique améliore la première tâche en temps logarithmique. Néanmoins, le décalage toujours en $\Theta(n)$, cause un temps quadratique à l'algorithme. ■

2.3-7 ★ Describe a $\Theta(n \lg n)$ -time algorithm that, given a set S of n integers and another integer x , determines whether or not there exist two elements in S whose sum is exactly x .

Solution : La méthode naïve (*brute force*) est de $\Theta(n^2)$. En voyant $\lg n$, on pense aux méthodes *divide and conquer*. On peut trier S en $\Theta(n \lg n)$ via un tri fusion et chercher un élément dans l'ensemble trié en $\Theta(\lg n)$ à l'aide de la recherche dichotomique.

Algorithme 7. SUM-SEARCH (S, x)

```
1 MERGE-SORT(S)
2 for  $i \leftarrow 1$  to  $S.size$ 
3     if BINARY-SEARCH( $S, x - S[i]$ )  $\neq$  NIL
4         return TRUE
5 return FALSE
```

■

2.4 Problems

2-1 Insertion sort on small arrays in merge sort

Although merge sort runs in $\Theta(n \lg n)$ worst-case time and insertion sort runs in $\Theta(n^2)$ worst-case time, the constant factors in insertion sort can make it faster in practice for small problem sizes on many machines. Thus, it makes sense to **coarsen** the leaves of the recursion by using insertion sort within merge sort when subproblems become sufficiently small. Consider a modification to merge sort in which $n = k$ sublists of length k are sorted using insertion sort and then merged using the standard merging mechanism, where k is a value to be determined.

- a. Show that insertion sort can sort the n/k sublists, each of length k , in $\Theta(nk)$ worst-case time.
- b. Show how to merge the sublists in $\Theta(n \lg(n/k))$ worst-case time.
- c. Given that the modified algorithm runs in $\Theta(nk + n \lg(n/k))$ worst-case time, what is the largest value of k as a function of n for which the modified algorithm has the same running time as standard merge sort, in terms of Θ -notation?
- d. How should we choose k in practice?

Solution :

a. $n/k \cdot \Theta(k^2) = \Theta(nk)$.



2-2 Correctness of bubblesort

Bubblesort is a popular, but inefficient, sorting algorithm. It works by repeatedly swapping adjacent elements that are out of order.

Solution :



2-3 Correctness of Horner's rule

The following code fragment implements Horner's rule for evaluating a polynomial

Solution :



2-4 Inversions

Solution :



3 Growth of Functions

3.1 Asymptotic notation

3.2 Standard notations and common functions

4 Divide-and-Conquer

4.1 The maximum-subarray problem

4.1-1 What does FIND-MAXIMUM-SUBARRAY return when all elements of A are negative?

Solution : L'indice du plus grand élément du tableau. ■

4.1-2 Write pseudocode for the brute-force method of solving the maximum-subarray problem. Your procedure should run in $\Theta(n^2)$ time.

Solution :

Algorithme 8. BRUTE-FIND-MAX-SUBARRAY (A)

```
1  index ← period ← -1
2  sum ←  $-\infty$ 
3  for i = 1 to A.length
4      tmp-sum ← 0
5      for tmp-period ← 1 to A.length - i + 1
6          tmp-sum ← tmp-sum + A[i + tmp-period - 1]
7          if tmp-sum > sum
8              index ← i
9              period ← tmp-period
10         sum ← tmp-sum
11  return (index, period, sum)
```

4.1-3 Implement both the brute-force and recursive algorithms for the maximum-subarray problem on your own computer. What problem size n_0 gives the crossover point at which the recursive algorithm beats the brute-force algorithm? Then, change the base case of the recursive algorithm to use the brute-force algorithm whenever the problem size is less than n_0 . Does that change the crossover point?

Solution :

— Environ 17. ¹

— Le crossover point est devenu 2. ²

1. cf. le programme [src/CH04_Divide-and-Conquer/FindMaxSubarray/tst_crossover_pt_1](#).

2. cf. le programme [src/CH04_Divide-and-Conquer/FindMaxSubarray/tst_crossover_pt_2](#).

4.1-4 Suppose we change the definition of the maximum-subarray problem to allow the result to be an empty subarray, where the sum of the values of an empty subarray is 0. How would you change any of the algorithms that do not allow empty subarrays to permit an empty subarray to be the result?

Solution :

- Si la somme finale est négative, on retourne 0 et le tableau vide ;
- Initialiser par 0 la somme.



4.1-5 Use the following ideas to develop a nonrecursive, linear-time algorithm for the maximum-subarray problem. Start at the left end of the array, and progress toward the right, keeping track of the maximum subarray seen so far. Knowing a maximum subarray of $A[1..j]$, extend the answer to find a maximum subarray ending at index $j + 1$ by using the following observation : a maximum subarray of $A[1..j + 1]$ is either a maximum subarray of $A[1..j]$ or a subarray $A[i..j + 1]$, for some $1 \leq i \leq j + 1$. Determine a maximum subarray of the form $A[i..j + 1]$ in constant time based on knowing a maximum subarray ending at index j .

Solution :

Algorithme 9. LINEAR-FIND-MAX-SUBARRAY (A)

```
1 left ← right ← 1
2 sum ← A[1]
3 for j = 2 to n
4     tmp-sum ← 0
5     if A[j] ≤ 0
6         continue
7     else if right == j - 1
8         right = j
9         sum = sum + A[j]
10    else
11        right ← j
12        i ← j - 1
13        while A[i] > 0
14            i ← i - 1
15            left ← i + 1
16    return sum
```



4.2 Strassen's algorithm for matrix multiplication

4.2-1 Use Strassen's algorithm to compute the matrix product

$$\begin{pmatrix} 1 & 3 \\ 7 & 5 \end{pmatrix} \begin{pmatrix} 6 & 8 \\ 4 & 2 \end{pmatrix}.$$

Show your work.

Solution : Soit $A = \begin{pmatrix} 1 & 3 \\ 7 & 5 \end{pmatrix}$ et $B = \begin{pmatrix} 6 & 8 \\ 4 & 2 \end{pmatrix}$, on veut calculer le produit matriciel $AB = C$.

On *divise* les matrices A et B en 4 sous-matrices :

$$\begin{array}{llll} A_{11} = 1 & A_{12} = 3 & \text{et} & B_{11} = 6 \quad B_{12} = 8 \\ A_{21} = 7 & A_{22} = 5 & & B_{21} = 4 \quad B_{22} = 2 \end{array}$$

puis on effectue les calculs intermédiaires :

$$\begin{array}{ll} S_1 = B_{12} - B_{22} = 6 & S_6 = B_{11} + B_{22} = 8 \\ S_2 = A_{11} + A_{12} = 4 & S_7 = A_{12} - A_{22} = -2 \\ S_3 = A_{21} + A_{22} = 12 & S_8 = B_{21} + B_{22} = 6 \\ S_4 = B_{21} - B_{11} = -2 & S_9 = A_{11} - A_{21} = -6 \\ S_5 = A_{11} + A_{22} = 6 & S_{10} = B_{11} + B_{12} = 14 \end{array}$$

et

$$\begin{array}{ll} P_1 = A_{11} \cdot S_1 = 6 & P_4 = A_{22} \cdot S_4 = -10 \\ P_2 = S_2 \cdot B_{22} = 8 & P_5 = S_5 \cdot S_6 = 48 \\ P_3 = S_3 \cdot B_{11} = 72 & P_6 = S_7 \cdot S_8 = -12 \\ & P_7 = S_9 \cdot S_{10} = -84 \end{array}$$

On finit par :

$$\begin{array}{l} C_{11} = P_5 + P_4 - P_2 + P_6 = 18 \\ C_{12} = P_1 + P_2 = 14 \\ C_{21} = P_3 + P_4 = 62 \\ C_{22} = P_5 + P_1 - P_3 - P_7 = 66 \end{array}$$

D'où

$$C = \begin{pmatrix} 18 & 14 \\ 62 & 66 \end{pmatrix}.$$

■

4.2-2 Write pseudocode for Strassen's algorithm.

Solution :

■

4.2-3 How would you modify Strassen's algorithm to multiply $n \times n$ matrices in which n is not an exact power of 2? Show that the resulting algorithm runs in time $\Theta(n^{\lg 7})$.

Solution :

■

4.2-4 What is the largest k such that if you can multiply 3×3 matrices using k multiplications (not assuming commutativity of multiplication), then you can multiply $n \times n$ matrices in time $O(n^{\lg 7})$? What would the running time of this algorithm be?

Solution :

■

4.2-5 V. Pan has discovered a way of multiplying 68×68 matrices using 132,464 multiplications, a way of multiplying 70×70 matrices using 143,640 multiplications, and a way of multiplying 72×72 matrices using 155,424 multiplications. Which method yields the best asymptotic running time when used in a divide-and-conquer matrix-multiplication algorithm? How does it compare to Strassen's algorithm?

Solution :

■

4.2-6 How quickly can you multiply a $kn \times n$ matrix by an $n \times kn$ matrix, using Strassen's algorithm as a subroutine? Answer the same question with the order of the input matrices reversed.

Solution :

- $kn \times n : \Theta(k^2 n^{\lg 7})$
- $n \times kn : \Theta(kn^{\lg 7})$

■

4.2-7 Show how to multiply the complex numbers $a+bi$ and $c+di$ using only three multiplications of real numbers. The algorithm should take $a, b, c,$ and d as input and produce the real component $ac - bd$ and the imaginary component $ad + bc$ separately.

Solution :

Algorithme 10. ADD-COMPLEX-NUMBER (a, b, c, d)

```
1  $P_1 = ac$ 
2  $P_2 = bd$ 
3  $P_3 = (a + b)(c + d)$ 
4  $real \leftarrow P_1 - P_2$ 
5  $imag \leftarrow P_3 - P_1 - P_2$ 
6 return ( $real, imag$ )
```

Ceci est un cas particulier de l'algorithme de Karatsuba³ qui a une complexité en temps $\mathcal{O}(n^{\lg 3})$ pour la multiplication entre deux nombres de n chiffres. ■

4.3 The substitution method for solving recurrences

4.3-1 Show that the solution of $T(n) = T(n-1) + n$ is $\mathcal{O}(n^2)$.

Solution : Supposons que $T(n) \leq cn^2$. On a

$$\begin{aligned} T(n) &\leq c(n-1)^2 + n \\ &= c(n^2 - 2n + 1) + n \\ &= cn^2 - 2cn + c + n \\ &\leq cn^2 \quad \text{avec } c \geq \frac{n}{2n-1}. \end{aligned}$$

La fonction $\frac{n}{2n-1}$ étant décroissante, on peut choisir $c = 1$ et $n_0 = 1$ tel que la définition soit vérifiée :

$$T(n) \in \left\{ f(n) : \forall n \geq 1, 0 \leq f(n) \leq n^2 \right\} \implies T(n) \in \mathcal{O}(n^2). \quad \blacksquare$$

4.3-2 Show that the solution of $T(n) = T(\lceil n/2 \rceil) + 1$ is $\mathcal{O}(\lg n)$.

3. voir [Algorithme de Karatsuba](#) (Wikipedia)

Solution : Supposons que $T(n) \leq c \lg n$ est vraie pour tout $m \leq n$ en particulier $m = \lceil n/2 \rceil$.
Alors

$$\begin{aligned} T(n) &\leq c \lg n/2 + 1 \\ &= c(\lg n - 1) + 1 \\ &= c \lg n - c + 1 \\ &\leq c \lg n \quad \forall c \in]0, 1]. \end{aligned}$$

■

4.3-3 We saw that the solution of $T(n) = 2T(\lfloor n/2 \rfloor) + n$ is $\mathcal{O}(n \lg n)$. Show that the solution of this recurrence is also $\Omega(n \lg n)$. Conclude that the solution is $\Theta(n \lg n)$.

Solution : On suppose que $T(n) \geq c(n+2) \lg(n+2)$. On a

$$\begin{aligned} T(n) &\geq 2c(\lfloor n/2 \rfloor + 2) \lg(\lfloor n/2 \rfloor + 2) + n \\ &\geq 2c(n/2 + 1) \lg(n/2 + 1) + n \\ &= c(n+2)(\lg(n+2) - 1) + n \\ &= c(n+2) \lg(n+2) - c(n+2) + n \\ &\geq c(n+2) \lg(n+2) \quad \text{avec } c \leq 1/3. \end{aligned}$$

De plus, $c(n+2) \lg(n+2) \geq cn \lg n$, donc on a bien $T(n) = \Omega(n \lg n)$ pour $c = 1/3$ et $n_0 = 1$ par exemple.

■

Solution :

■

4.3-4

Solution :

■

4.3-5

Solution :

■

4.3-6

Solution :



4.3-7

Solution :



4.3-8

Solution :



4.3-9

4.4 The recursion-tree method for solving recurrences

4.5 The master method for solving recurrences

4.5-1 Use the master method to give tight asymptotic bounds for the following recurrences.

- a. $T(n) = 2T(n/4) + 1$.
- b. $T(n) = 2T(n/4) + \sqrt{n}$.
- c. $T(n) = 2T(n/4) + n$.
- d. $T(n) = 2T(n/4) + n^2$.

Solution : Dans les quatre cas, on a $\log_b a = \log_4 2 = \frac{1}{2}$.

- a. $f(n) = 1 = \mathcal{O}(n^{\log_4 2 - \epsilon})$ avec $\epsilon \in]0, 1]$, donc $T(n) = \Theta(\sqrt{n})$.
- b. $f(n) = \sqrt{n} = \Theta(\sqrt{n})$, donc $T(n) = \Theta(\sqrt{n} \lg n)$.
- c. $f(n) = n = \Omega(n^{\log_4 2 + \epsilon})$ avec $\epsilon \in]0, 2]$, de plus $af(n/b) = n/2 \leq cf(n) = cn$ avec $1/2 \leq c < 1$, donc $T(n) = \Theta(n)$.
- d. $f(n) = n^2 = \Omega(n^{\log_4 2 + \epsilon})$ avec $\epsilon \in]0, 14]$, de plus $af(n/b) = n^2/8 \leq cf(n)$ avec $1/8 \leq c < 1$, donc $T(n) = \Theta(n^2)$.



4.5-2 Professor Caesar wishes to develop a matrix-multiplication algorithm that is asymptotically faster than Strassen's algorithm. His algorithm will use the divide-and-conquer method, dividing each matrix into pieces of size $n/4 \times n/4$, and the divide and combine steps together will take $\Theta(n^2)$ time. He needs to determine how many subproblems his algorithm has to create in order to beat Strassen's algorithm. If his algorithm creates a subproblems, then the recurrence for the running time $T(n)$ becomes $T(n) = aT(n/4) + \Theta(n^2)$. What is the largest integer value of a for which Professor Caesar's algorithm would be asymptotically faster than Strassen's algorithm?

Solution :

■

4.5-3 Use the master method to show that the solution to the binary-search recurrence $T(n) = T(n/2) + \Theta(1)$ is $T(n) = \Theta(\lg n)$. (See Exercise 2.3-5 for a description of binary search.)

Solution : On a $a = 1, b = 2$, alors $n^{\lg_b a} = 1$. Comme $f(n) \in \Theta(1) = \Theta(n^{\lg_b a})$, $T(n) = \Theta(\lg n)$.

■

4.5-4 Can the master method be applied to the recurrence $T(n) = 4T(n/2) + n^2 \lg n$? Why or why not? Give an asymptotic upper bound for this recurrence.

Solution : On compare $n^{\lg_2 4} = n^2$ avec $f(n) = n^2 \lg n$. Comme on n'a ni $f(n) = \mathcal{O}(n^{\lg_2 4 - \epsilon})$ ni $f(n) = \Theta(n^2)$ ni $f(n) = \Omega(n^{\lg_2 4 + \epsilon})$, on ne peut utiliser la *master method*. Pour trouver une borne supérieure asymptotique, on peut d'abord conjecturer avec la méthode d'arbre récursive puis vérifier l'exactitude avec la méthode de substitution.

Arbre récursive : Supposons que $n = 2^p$ avec $p \in \mathbb{N}$. On a un arbre complet de hauteur p dans lequel chaque nœud est étiqueté par $cn^2 \lg n$ et a 4 fils. Chaque niveau $i \in \{0, \dots, p-1\}$ a un coût $c4^i \cdot c(\frac{n}{2^i})^2 \lg \frac{n}{2^i} = cn^2(p-i)$. Les feuilles sont supposées d'être étiquetées par une constante $\Theta(1)$ et il y en a $4^p = n^2$, donc le coût des feuilles est $\Theta(n^2)$. On obtient, en sommant les coûts de tous les niveaux, une idée sur la borne asymptotique : za

$$\begin{aligned} \sum_{i=0}^{p-1} cn^2(p-i) + \Theta(n^2) &= cn^2 \sum_{i=0}^{p-1} (p-i) + \Theta(n^2) \\ &= cn^2(p^2 - \frac{(p-1)p}{2}) \\ &= \Theta(n^2 \lg^2 n) = \Theta((n \lg n)^2). \end{aligned}$$

Méthode de substitution :

■

4.5-5 ★ Consider the regularity condition $af(n/b) \leq cf(n)$ for some constant $c < 1$, which is part of case 3 of the master theorem. Give an example of constant $a \geq 1$ and $b > 1$ and a function $f(n)$ that satisfies all the conditions in case 3 of the master theorem except the regularity condition.

Solution : Fixons $a = 1, b = 2$ et étudions les fonctions de forme $f(n) = a_n \cdot n$ avec $a_n > 0$ qui pourraient vérifier

$$\begin{cases} f(n) = \Omega(n^{\log_2(1+\epsilon)}) & \text{avec } \epsilon > 0 \\ f(n/2) \leq cf(n) & \text{avec } c \geq 1. \end{cases}$$

La première condition est vérifiée si a_n soit bornée. Pour que la deuxième l'est également, il faut que $a_{n/2} \leq 2ca_n$ et que a_n ne soit pas constante. Intuitivement, on choisit $a_n = \cos(n) + 2$ qui est toujours positive. Par substitution, on obtient l'inégalité suivante

$$\frac{\cos(n/2) + 2}{2(\cos(n) + 2)} \leq c \quad (1)$$

Le maximum du premier membre de l'inégalité (1) est donné par [Wolfram Alpha](#) et vaut approximativement 1.0303. Donc on a $1.0303 \leq c$, ce qui vérifie la deuxième condition. Ainsi, on ne peut appliquer le *master theorem* pour trouver une borne asymptotique inférieure. ■

5 Probabilistic Analysis and Randomized Algorithms

5.1 The hiring problem

5.1-1 Show that the assumption that we are always able to determine which candidate is best, in line 4 of procedure HIRE-ASSISTANT, implies that we know a total order on the ranks of the candidates.

Solution : Les axiomes de l'ordre (transitivité, antisymétrie et réflexivité) ne suffisent pas, la totalité ($x \leq y$ ou $y \leq x$) est exigé. Sinon il se peut qu'on ne pourrait comparer deux candidates. ■

5.1-2 ★ Describe an implementation of the procedure RANDOM(a, b) that only makes calls to RANDOM($0, 1$). What is the expected running time of your procedure, as a function of a and b ?

Solution :

Algorithme 11. RANDOM (a, b)

```
1   $n \leftarrow b - a$ 
2   $c \leftarrow \lceil \lg(n + 1) \rceil$ 
3   $r \leftarrow n$ 
4  while  $r > n$ 
5       $r \leftarrow 0$ 
6      // Form a  $c$ -digit binary number
7      for  $i = 1$  to  $c$ 
8           $r = r + \text{SHIFT-LEFT}(\text{RANDOM}(0, 1), i)$ 
9  return  $a + r$ 
```

— Exactitude : La probabilité d'obtenir un nombre $a + i$ avec $i \in \llbracket 0, n \rrbracket$ est :

$$\begin{aligned} \mathbb{P}(\{a + i\}) &= \sum_{i=0}^{\infty} \left(\frac{c - n - 1}{c}\right)^i \cdot \left(\frac{1}{c}\right) \\ &= \left(\frac{1}{c}\right) \cdot \left(\frac{c}{n + 1}\right) \\ &= \frac{1}{n + 1} \end{aligned}$$

On a bien une distribution uniforme.

— Complexité en temps : $\mathcal{O}(\lg(b - a))$.

■

5.1-3 ★ Suppose that you want to output 0 with probability 1/2 and 1 with probability 1/2. At your disposal is a procedure `BIASED-RANDOM`, that outputs either 0 or 1. It outputs 1 with some probability p and 0 with probability $1/p$, where $0 < p < 1$, but you do not know what p is. Give an algorithm that uses `BIASED-RANDOM` as a subroutine, and returns an unbiased answer, returning 0 with probability 1/2 and 1 with probability 1/2. What is the expected running time of your algorithm as a function of p ?

Solution : On énonce ici le *skew-correction algorithm* dû à VON NEUMANN :

Algorithme 12. `UNBIASED-RANDOM(0, 1)`

```

1   $(a_1, a_2) \leftarrow (0, 0)$ 
2  while  $a_1 == a_2$ 
3       $(a_1, a_2) \leftarrow (\text{BIASED-RANDOM}(0, 1), \text{BIASED-RANDOM}(0, 1))$ 
4  return  $a_1$ 

```

— Exactitude : La probabilité d'obtenir un nombre i avec $i \in \{0, 1\}$ est :

$$\sum_{i=0}^{\infty} ((1-p)^2 + p^2)^i p(1-p) = \frac{p(1-p)}{1 - (2p^2 - 2p + 1)} = \frac{1}{2}.$$

— Complexité en temps : $\mathcal{O}\left(\frac{1}{p(1-p)}\right)$.

■

Première partie

Sorting and Order Statistics

6 Heapsort

6.1 Heaps

6.1-1 *What are the minimum and maximum numbers of elements in a heap of height h ?*

Solution :

- Minimum : 2^h ;
- Maximum : $2^{h+1} - 1$.

■

6.1-2 *Show that an n -element heap has height $\lfloor \lg n \rfloor$.*

Solution : On reprend le résultat précédent (exercice 6.1-1) qui nous offre l'inégalité :

$$2^h \leq n \leq 2^{h+1} - 1.$$

Ainsi, étant donné un nombre d'éléments n , l'hauteur h d'un tas est bornée par :

$$\lg n - 1 < \lg(n + 1) - 1 \leq h \leq \lg n.$$

Sachant que h est un entier, à partir de $\lg n - 1 < h \leq \lg n$ on déduit que $h = \lfloor \lg n \rfloor$.

■

6.1-3 *Show that in any subtree of a max-heap, the root of the subtree contains the largest value occurring anywhere in that subtree.*

Solution : C'est une conséquence immédiate de la propriété d'un *max-heap* : la clé de la racine d'un sous-arbre est supérieure égale à celle de ses enfants ; or, ses enfants sont également la racine du sous-arbre qu'ils appartiennent. De ce fait, une preuve plus complète serait achevée par induction mathématiques.

■

6.1-4 *Where in a max-heap might the smallest element reside, assuming that all elements are distinct?*

Solution : La propriété d'un *max-heap* est que $A[\text{PARENT}(i)] \geq A[i]$ ce qui signifie que tout chemin partant de la racine forme une suite décroissante, et strictement, par hypothèse. Par conséquent, le plus petit élément réside dans une des feuilles. Ce résultat découle du fait que la relation d'ordre n'est pas totale sur le tas.

■

6.1-5 *Is an array that is in sorted order a min-heap?*

Solution : Si le tableau est trié de manière croissante, le tableau forme un *min-heap*. ■

6.1-6 Is the array with values $\langle 23, 17, 14, 6, 13, 10, 1, 5, 7, 12 \rangle$ a *max-heap*?

Solution : Considérons la figure (3) qui est la représentation arborescente du tableau. On voit qu'il existe une sous-suite qui n'est pas décroissante : $(23, 17, 6, 7)$, donc ce tableau ne vérifie pas la propriété d'un *max-heap*.

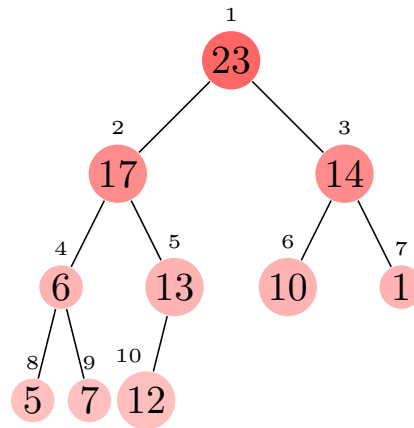


FIGURE 3 – Tas sous forme d'arbre du tableau $\langle 23, 17, 14, 6, 13, 10, 1, 5, 7, 12 \rangle$

6.1-7 Show that, with the array representation for storing an n -element heap, the leaves are the nodes indexed by $\lfloor n/2 \rfloor + 1, \lfloor n/2 \rfloor + 2, \dots, n$.

Solution : Une feuille n'a pas de fils, et comme les nœuds sont insérés de façon contiguë, il suffit de trouver le premier k tel que $\text{LEFT}(k) = 2k > n$. On a donc $n/2 < k$ et puis comme k est un entier, il vaut $\lfloor n/2 \rfloor + 1$. ■

6.2 Maintaining the heap property

6.2-1 Using Figure 6.2 as a model, illustrate the operation of $\text{MAX-HEAPIFY}(A, 3)$ on the array $A = \langle 27, 17, 3, 16, 13, 10, 1, 5, 7, 12, 4, 8, 9, 0 \rangle$

Solution :

Regardons la figure (4) qui illustre les opérations de $\text{MAX-HEAPIFY}(A, 3)$: (a) La configuration initiale du tas, avec la valeur $A[3]$ au nœud $i = 3$ viole la propriété de *max-heap* puisque'elle n'est pas supérieur à celle des enfants. La propriété de *max-heap* est restaurée pour le nœud 3 en (b) via échange de $A[3]$ avec $A[6]$, ce qui détruit la propriété de *max-heap* pour le nœud 6. L'appel récursif $\text{MAX-HEAPIFY}(A, 6)$ prend maintenant $i = 6$. Après

avoir échangé $A[6]$ avec $A[13]$, comme illustré en (c), le nœud 6 est corrigé, et l'appel récursif $\text{MAX-HEAPIFY}(A, 13)$ n'engendre plus de modifications de la structure de données.

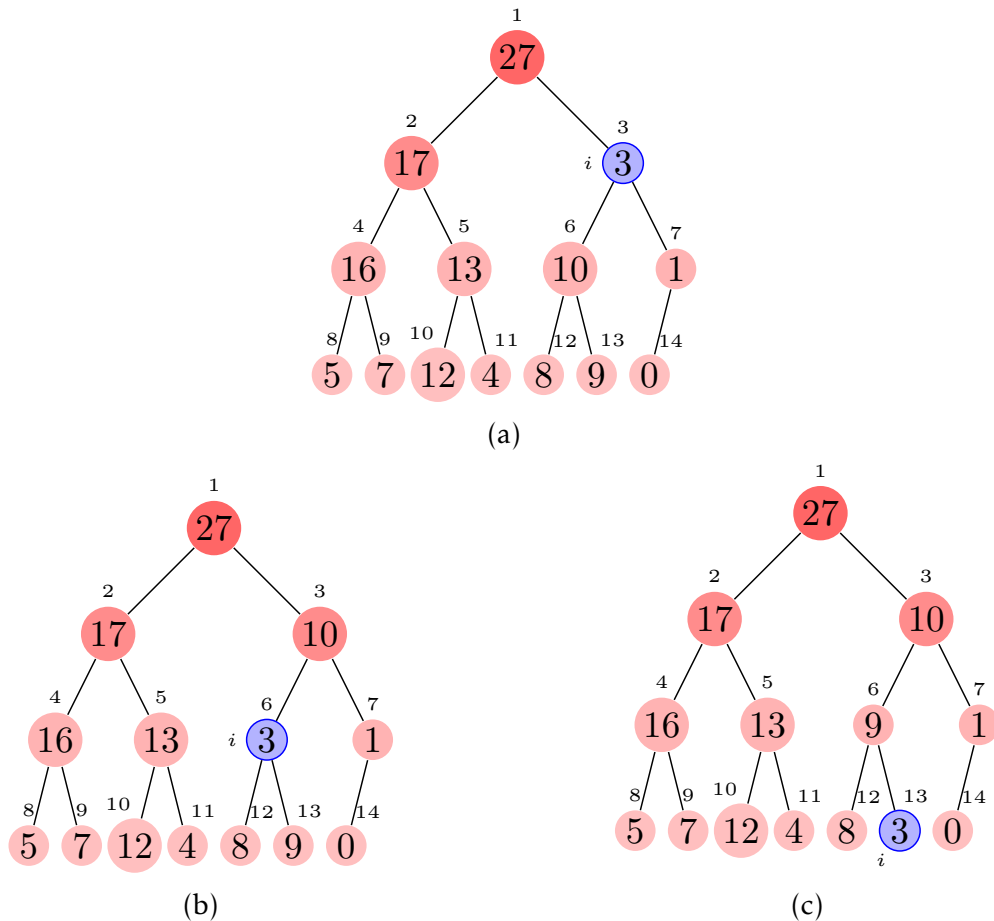


FIGURE 4 – L'action $\text{MAX-HEAPIFY}(A, 3)$, où $A.\text{heap-size} = 14$.



6.2-2 Starting with the procedure MAX-HEAPIFY , write pseudocode for the procedure $\text{MIN-HEAPIFY}(A, i)$ which performs the corresponding manipulation on a min-heap. How does the running time of MIN-HEAPIFY compare to that of MAX-HEAPIFY ?

Solution :

Algorithme 13. MIN-HEAPIFY (A, i)

```
1   $l = \text{LEFT}(i)$ 
2   $r = \text{RIGHT}(i)$ 
3  if  $l \leq A.\text{heap-size}$  and  $A[l] < A[i]$ 
4       $least = l$ 
5  else  $least = i$ 
6  if  $r \leq A.\text{heap-size}$  and  $A[r] < A[least]$ 
7       $least = r$ 
8  if  $least \neq i$ 
9       $\text{swap}(A, i, least)$ 
10  MIN-HEAPIFY( $A, least$ )
```

L'algorithme étant la même que celle du MAX-HEAPIFY à quelques signes près, on est certain qu'ils ont la même complexité en temps. Détaillons quand même la preuve du livre. Le temps d'exécution de MIN-HEAPIFY est le temps $\Theta(1)$ nécessaire pour corriger les relations entre les éléments, plus le temps d'exécuter MIN-HEAPIFY sur un sous-arbre enraciné sur l'un des enfants du nœud i .

Majorons la taille du sous-arbre de gauche. On sait que le pire des cas survient quand la dernière rangée de l'arbre est remplie à moitié, alors on a la ratio suivant :

$$R_n = \frac{\text{taille de l'arbre enraciné sur le nœud } \text{LEFT}(i)}{\text{taille de l'arbre enraciné sur le nœud } i} = \frac{2^{n-1} - 1}{2^n - 2^{n-2} - 1}.$$

R_n est croissante et admet une limite $R_n \xrightarrow{n \rightarrow +\infty} 2/3$ qui est le majoré de la taille du sous-arbre de gauche. Ainsi, on obtient l'inégalité :

$$T(n) \leq T(2n/3) + \Theta(1).$$

Puis on utilise le *master theorem*. Dans notre cas $f(n) = \Theta(1)$ et $n^{\log_{3/2} 1} = 1$. Le deuxième cas convient, on a bien $f(n) = \Theta(1)$, donc la solution est $T(n) = O(\lg n) = O(h)$ avec h l'hauteur de l'arbre (d'après 6.1-2, $h = \lfloor \lg n \rfloor$). ■

6.2-3 What is the effect of calling MAX-HEAPIFY(A, i) when the element $A[i]$ is larger than its children?

Solution : L'algorithme effectue les comparaisons nécessaires et s'arrête en temps constant. Aucun échange a lieu car le nœud et ses fils vérifient la propriété d'un *max-heap*. ■

6.2-4 What is the effect of calling MAX-HEAPIFY(A, i) for $i > A.\text{heap-size}/2$?

Solution : On a $\lfloor A.\text{heap-size}/2 \rfloor + 1 \leq i \leq A.\text{heap-size}$, d'après 6.1-7, tous les nœud d'indice i sont des feuilles. Donc l'algorithme s'arrête en temps constant et aucun échange a

lieu. ■

6.2-5 The code for MAX-HEAPIFY is quite efficient in terms of constant factors, except possibly for the recursive call in line 10, which might cause some compilers to produce inefficient code. Write an efficient MAX-HEAPIFY that uses an iterative control construct (a loop) instead of recursion.

Solution :

Algorithme 14. ITERATIVE-MAX-HEAPIFY (A, i)

```
1  while LEFT( $i$ ) < A.heap-size and RIGHT( $i$ ) < A.heap-size
2       $l = \text{LEFT}(i)$ 
3       $r = \text{RIGHT}(i)$ 
4      // Les lignes 5-9 peuvent être exprimé autrementa
5      if  $A[l] > A[i]$ 
6           $largest = l$ 
7      else  $largest = i$ 
8      if  $A[r] > A[largest]$ 
9           $largest = r$ 
10     if  $largest \neq i$ 
11         swap( $A, i, largest$ )
12          $i = largest$ 
13     else return
```

a. $largest = \text{index-of-max}(A[i], A[l], A[r])$.

6.2-6 Show that the worst-case running time of MAX-HEAPIFY on a heap of size n is $\Omega(\lg n)$. (Hint : For a heap with n nodes, give node values that cause MAX-HEAPIFY to be called recursively at every node on a simple path from the root down to a leaf.) ■

Solution : Le pire cas a lieu lorsqu'il existe un chemin tel que ses éléments sont triés de manière croissante. Dans ce cas là, il y a exactement $h = \lfloor \lg n \rfloor$ appels récursives de la fonction MAX-HEAPIFY. D'où la borne inférieure $\Omega(\lg n)$. ■

6.3 Building a heap

6.3-1 Using Figure 6.3 as a model, illustrate the operation of BUILD-MAX-HEAP on the array $A = \langle 5, 3, 17, 10, 84, 19, 6, 22, 9 \rangle$.

Solution : Observons la figure (5) : (a) Un tableau de 9 éléments en entrée, avec l'arbre binaire qu'il représente. La figure montre que l'indice de boucle i pointe vers le nœud 4 avant l'appel $\text{MAX-HEAPIFY}(A, i)$. (b) La structure de données résultante. L'indice de boucle i de l'itération suivante pointe vers le nœud 3. (c)-(d) Les itérations suivantes de la boucle **for** de BUILD-MAX-HEAP . À chaque fois qu'il y a appel de MAX-HEAPIFY sur un nœud, les deux sous-arbres de ce nœud sont des *max-heap*. (e) Le *max-heap* après que BUILD-MAX-HEAP a fini.

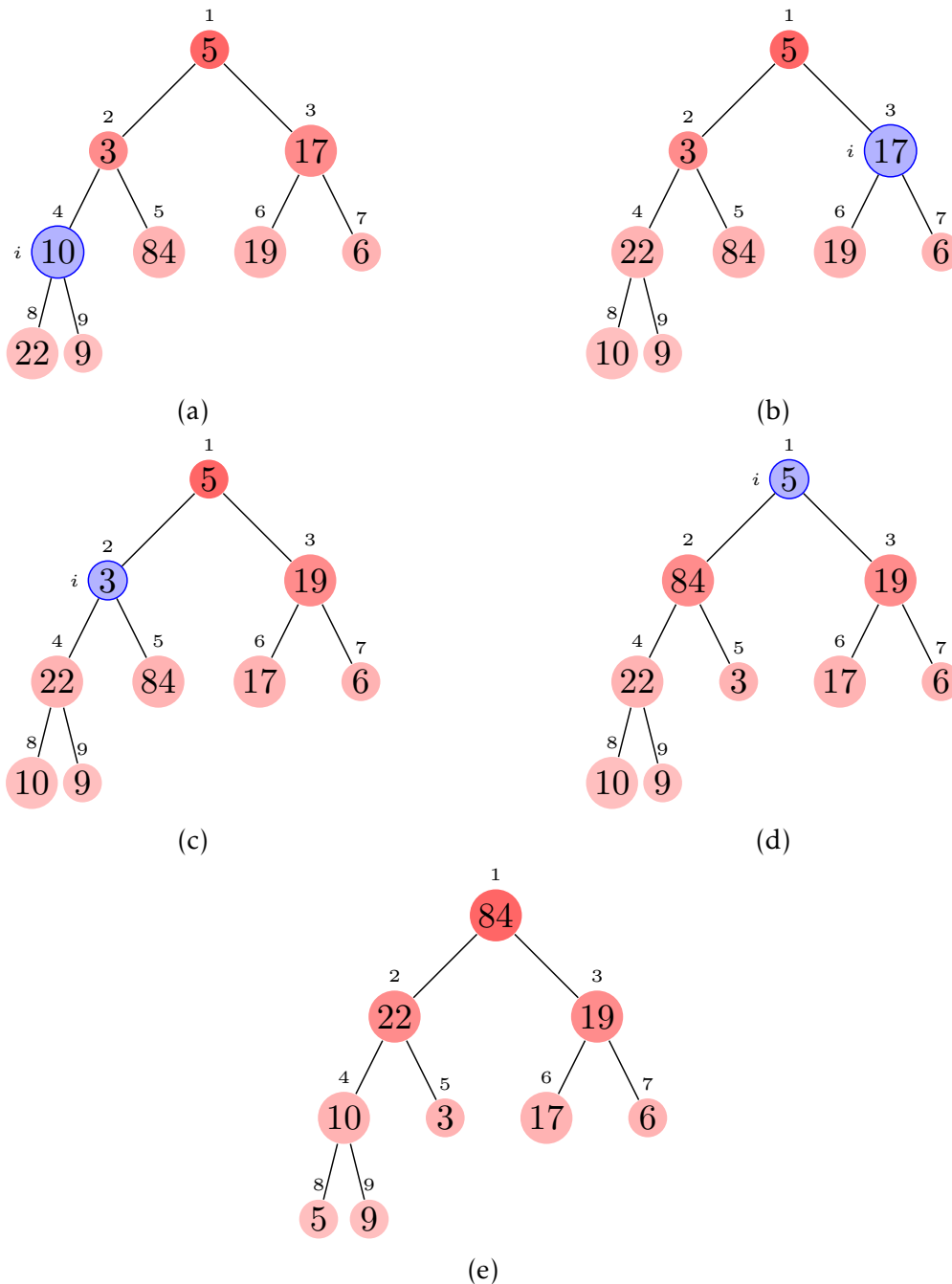


FIGURE 5 – Le fonctionnement de $\text{BUILD-MAX-HEAP}(A)$, où $A.\text{heap-size} = 9$.

■

6.3-2 Why do we want the loop index i in line 2 of BUILD-MAX-HEAP to decrease from $\lfloor A.length/2 \rfloor$ to 1 rather than increase from 1 to $\lfloor A.length/2 \rfloor$?

Solution : L'hypothèse de MAX-HEAPIFY(A, i) est que les sous-arbres LEFT(i) et RIGHT(i) sont des *max-heaps*. Si l'on commence par le nœud 1, alors il n'y a aucune garantie que les nœuds parcourus seront toujours des *max-heaps*. ■

6.3-3 Show that there are at most $\lceil n/2^{h+1} \rceil$ nodes of height h in any n -element heap.

Solution : Notons que les nœuds ayant une hauteur j deviennent des feuilles après qu'on ôte ceux qui ont comme hauteur $0, \dots, j - 1$. Sachant qu'un tas ayant n éléments a exactement $n - \lfloor n/2 \rfloor = \lceil n/2 \rceil$ feuilles (d'après l'exercice 6.1-7 et une identité de partie entière du chapitre 3), on peut établir deux suites récurrentes :

$$\begin{cases} N_0 = n \\ N_{i+1} = N_i - F_i \end{cases} \quad \begin{cases} F_0 = \lceil N_0/2 \rceil \\ F_i = \lceil N_i/2 \rceil \end{cases}$$

où N_i désigne le nombre de nœuds après avoir ôté les nœuds de hauteur respectives $0, \dots, i - 1$ et F_i le nombre de feuilles de ce nouveau arbre. À partir de ces relations, il en découle que

$$N_{i+1} = N_i - \lceil N_i/2 \rceil = \lfloor N_i/2 \rfloor \leq N_i/2$$

puis, par itération, on a $N_i \leq n/2^i$. On conclut que $F_i = \lceil N_i/2 \rceil \leq \lceil n/2^{i+1} \rceil$. ■

6.4 The heapsort algorithm

6.4-1 Using Figure 6.4 as a model, illustrate the operation of HEAPSORT on the array $A = \langle 5, 13, 2, 25, 7, 17, 20, 8, 4 \rangle$.

Solution : Regardons la figure (6). (a) L'arbre binaire avant l'appel de BUILD-MAX-HEAP. (b) la structure de *max-heap* juste après sa construction par BUILD-MAX-HEAP. (c)-(j) Le *max-heap* juste après chaque appel de MAX-HEAPIFY. La valeur de i à ce moment est montrée. Seul les nœuds rouges restent dans le tas.

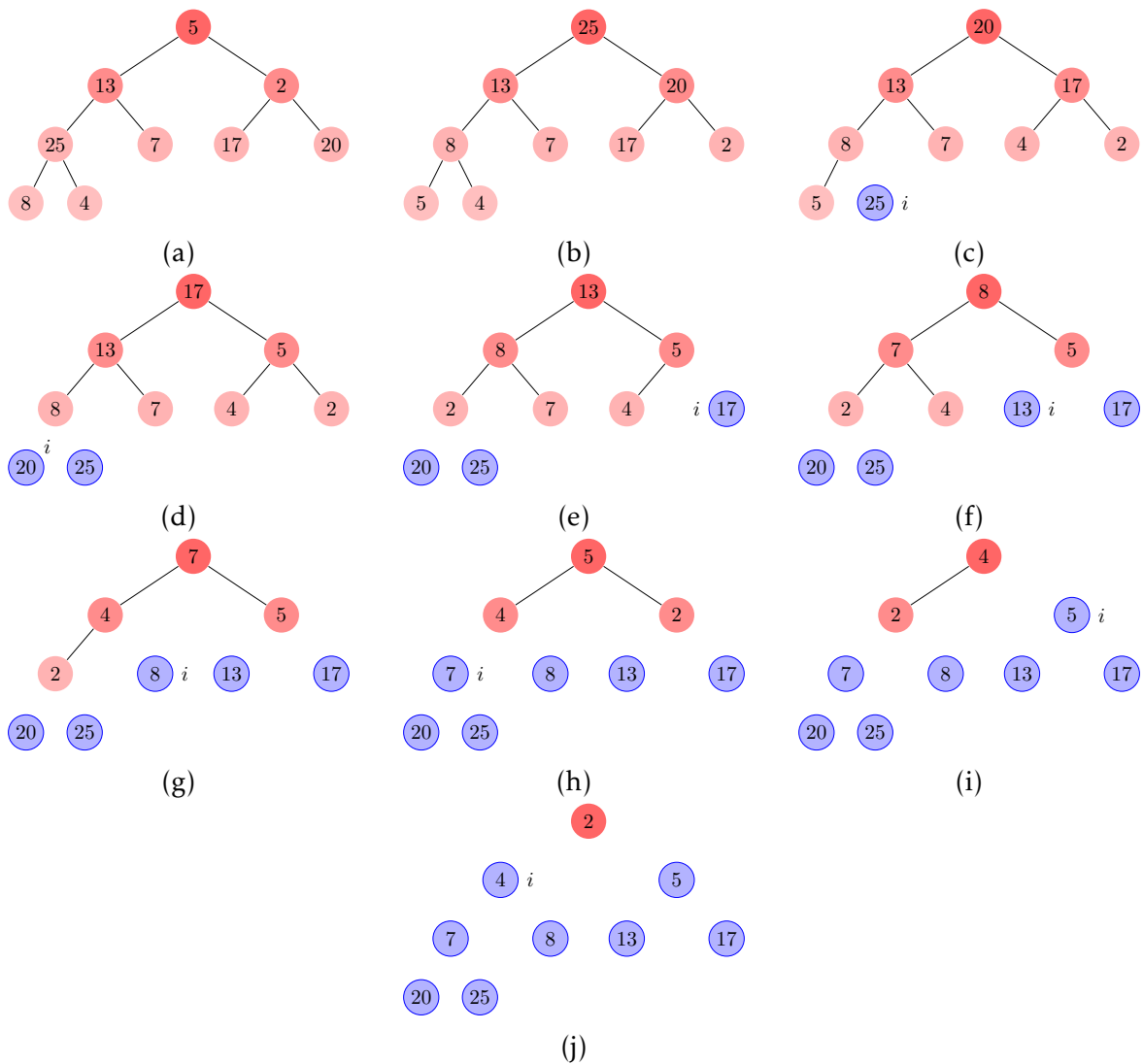


FIGURE 6 – Le fonctionnement du HEAP-SORT(A) sur $A = \langle 5, 13, 2, 25, 7, 17, 20, 8, 4 \rangle$.



6.4-2 Argue the correctness of HEAP-SORT using the following loop invariant :

At the start of each iteration of the **for** loop of lines 2–5, the subarray $A[1..i]$ is a *max-heap* containing the i smallest elements of $A[1..n]$, and the subarray $A[i+1..n]$ contains the $n-i$ largest elements of $A[1..n]$, sorted.

Solution :

Initialisation : Avant la première itération de la boucle, $i = n$. De plus, par construction de BUILD-MAX-HEAP, $A[i..n]$ est un *max-heap*. Il contient le n -ième plus petit (autrement dit le plus grand) élément qui n'est rien d'autre que la racine du tas. Le sous-tableau $A[i+1..n]$ est vide, donc ne contient aucun élément trié.

Maintenance : Supposons, au début de l'itération à laquelle $i = k$, que le tableau $A[1..i]$ est un *max-heap* contenant le i -ième plus petit élément et que le tableau $A[i+1..n]$ contient les $n-i$ plus grands éléments de $A[1..n]$ triés d'ordre croissant. $A[1..i]$ étant un *max-heap*, $A[1]$ est donc le plus grand élément. En l'échangeant avec $A[i]$, $A[i..n]$ contient les $n-i+1$ plus grands éléments de $A[1..n]$. En outre, en cas d'existence, $\text{LEFT}(1)$ et $\text{RIGHT}(1)$ sont des *max-heaps*, ainsi en appliquant MAX-HEAPIFY au nœud 1, il est garanti que $A[1..i-1]$ est un *max-heap*.

Terminaison : Après l'itération $i = 2$, $A[1]$ est le plus petit élément de $A[1..n]$ et $A[2..n]$ est trié de manière croissante, donc $A[1..n]$ est trié. ■

6.4-3 What is the running time of HEAP-SORT on an array A of length n that is already sorted in increasing order? What about decreasing order?

Solution : ■

6.4-4 Show that the worst-case running time of HEAPSORT is $\Omega(n \lg n)$.

Solution : ■

6.4-5 ★ Show that when all elements are distinct, the best-case running time of HEAP-SORT is $\Omega(n \lg n)$.

Solution : ■

6.5 Priority queues

6.5-1 Illustrate the operation of HEAP-EXTRACT-MAX on the heap $A = \langle 15, 13, 9, 5, 12, 8, 7, 4, 0, 6, 2, 1 \rangle$.

Solution : Considérons la figure (7). (a) Le tas A avant l'extraction. (b) L'extraction du plus grand élément $A[1] = 15$. (c)-(e) L'application de $\text{MAX-HEAPIFY}(A, 1)$. (f) On obtient à nouveau un *max-heap* et on retourne *max*.

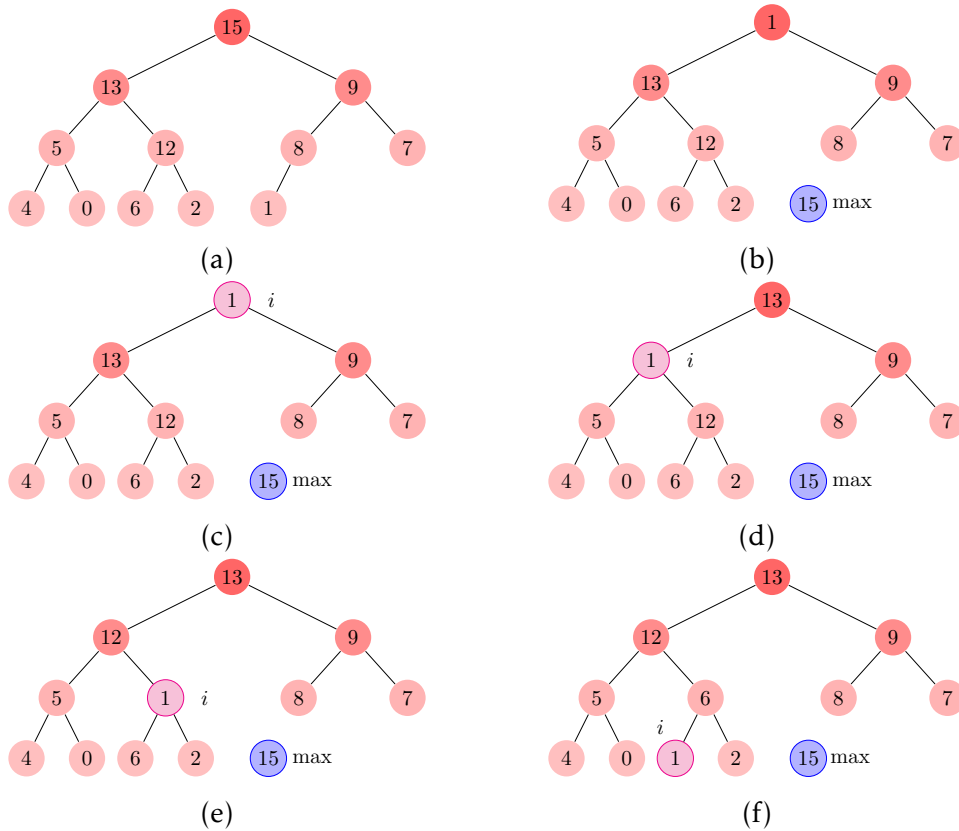


FIGURE 7 – Le fonctionnement de HEAP-EXTRACT-MAX(A) sur $A = \langle 15, 13, 9, 5, 12, 8, 7, 4, 0, 6, 2, 1 \rangle$.

6.5-2 Illustrate the operation of MAX-HEAP-INSERT on the heap $A = \langle 15, 13, 9, 5, 12, 8, 7, 4, 0, 6, 2, 1 \rangle$.

Solution :

6.5-3 Write pseudocode for the procedures HEAP-MINIMUM, HEAP-EXTRACT-MIN, HEAP-DECREASE-KEY, and MIN-HEAP-INSERT that implement a min-priority queue with a min-heap.

Solution :

6.5-4 Why do we bother setting the key of the inserted node to $-\infty$ in line 2 of MAX-HEAP-INSERT when the next thing we do is increase its key to the desired value?

Solution :

6.5-5 Argue the correctness of HEAP-INCREASE-KEY using the following loop invariant :

At the start of each iteration of the *while* loop of lines 4–6, the subarray $A[1..A.heap-size]$ satisfies the max-heap property, except that there may be one violation : $A[i]$ may be larger than $A[PARENT(i)]$.

You may assume that the subarray $A[1..A.heap-size]$ satisfies the max-heap property at the time HEAP-INCREASE-KEY is called.

Solution :

■

6.5-6 Each exchange operation on line 5 of HEAP-INCREASE-KEY typically requires three assignments. Show how to use the idea of the inner loop of INSERTION-SORT to reduce the three assignments down to just one assignment.

Solution :

■

6.5-7 Show how to implement a first-in, first-out queue with a priority queue. Show how to implement a stack with a priority queue. (Queues and stacks are defined in Section 10.1.)

Solution :

■

6.5-8 The operation HEAP-DELETE(A, i) deletes the item in node i from heap A . Give an implementation of HEAP-DELETE that runs in $O(\lg n)$ time for an n -element max-heap.

Solution :

■

6.5-9 Give an $O(n \lg k)$ -time algorithm to merge k sorted lists into one sorted list, where n is the total number of elements in all the input lists. (Hint : Use a min-heap for k -way merging.)

Solution :

■

7 Quicksort

7.1 Description of quicksort

7.2 Performance of quicksort

7.3 A randomized version of quicksort

7.4 Analysis of quicksort

8 Sorting in Linear Time

8.1 Lower bounds for sorting

8.2 Counting sort

8.3 Radix sort

8.4 Bucket sort

9 Medians and Order Statistics

Deuxième partie

Data Structures

10 Elementary Data Structures

10.1 Stacks and queues

10.1-1 Using Figure 10.1 as a model, illustrate the result of each operation in the sequence $PUSH(S, 4)$, $PUSH(S, 1)$, $PUSH(S, 3)$, $POP(S)$, $PUSH(S, 8)$, and $POP(S)$ on an initially empty stack S stored in array $S[1..6]$.

Solution :

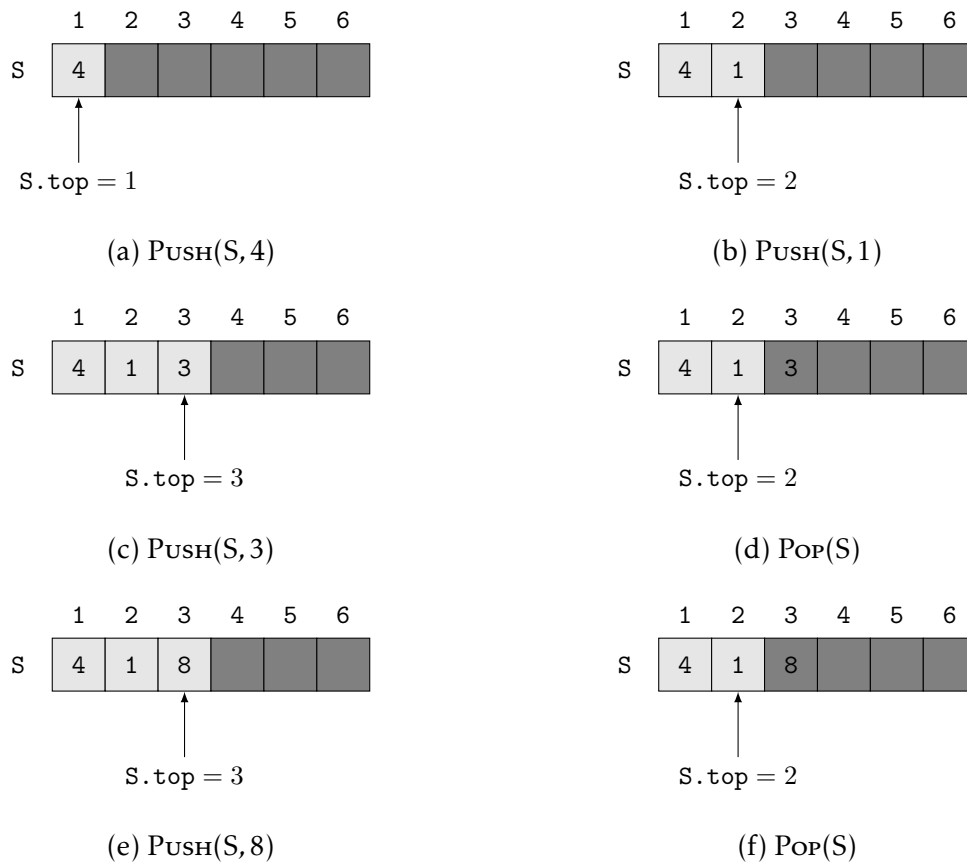


FIGURE 8 – Séquence d'opérations sur une pile vide de taille 6.

10.1-2 Explain how to implement two stacks in one array $A[1..n]$ in such a way that neither stack overflows unless the total number of elements in both stacks together is n . The $PUSH$ and POP operations should run in $O(1)$ time.

Solution : Il suffit d'initialiser les piles aux extrémités du tableau, *i.e.* $S_1.top = 1$ et $S_2.top = n$. La pile S_1 fonctionne comme montré à la fig. 8 et la pile S_2 décrémente l'indice du sommet lors d'un $PUSH$ et l'incrémente lors d'un POP . Lorsque le nombre total des

éléments des deux piles est égale à n , il y a overflow si on empile un élément dans une des piles. Les primitives PUSH et POP sont bien de $O(1)$. ■

10.1-3 Using Figure 10.2 as a model, illustrate the result of each operation in the sequence ENQUEUE(Q, 4), ENQUEUE(Q, 1), ENQUEUE(Q, 3), DEQUEUE(Q), ENQUEUE(Q, 8), and DEQUEUE(Q) on an initially empty queue Q stored in array Q[1..6].

Solution :

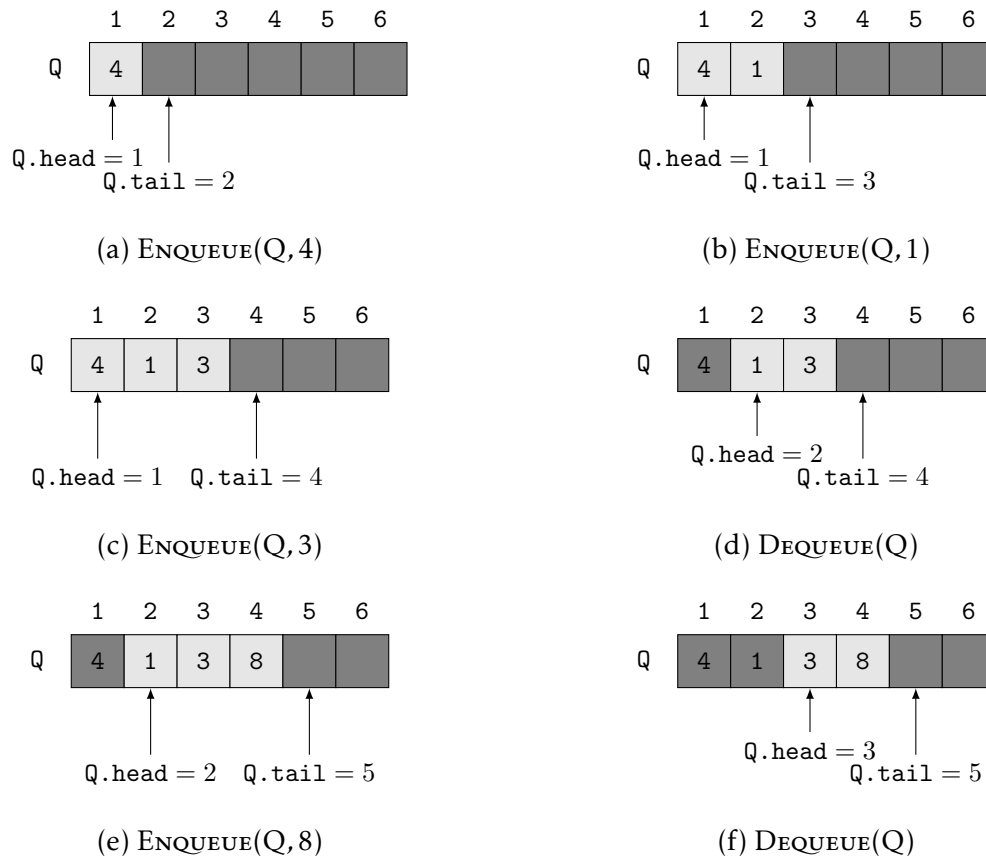


FIGURE 9 – Séquence d’opérations sur une file vide de taille 6. ■

10.1-4 Rewrite ENQUEUE and DEQUEUE to detect underflow and overflow of a queue.

Solution : La description donnée ne permet pas de déterminer si une file est vide ou pleine. Supposons, par commodité, que la file est implémenté sur le tableau $Q[0..n-1]$ (cette hypothèse est pratique pour l’arithmétique modulaire). Il existe plusieurs méthodes possibles pour contourner ce problème, on en présente ici trois :

- ① Ajouter en attribue de la file un état *isempty* qui vaut TRUE si la file est vide et FALSE inversement. La file est pleine lorsque $Q.head = Q.tail$ et $Q.isempty = FALSE$.

Algorithme ENQUEUE-1(Q, e)

```
1  if  $Q.head == Q.tail$  &  $Q.isempty == FALSE$ 
2      error "The queue is full : failed to enqueue."
3   $Q[Q.tail] \leftarrow e$ 
4   $Q.tail = (Q.tail + 1) \bmod Q.length$ 
5  if  $Q.isempty == TRUE$ 
6       $Q.isempty \leftarrow FALSE$ 
```

Algorithme DEQUEUE-1(Q)

```
1  if  $Q.isempty$ 
2      error "The queue is empty : failed to dequeue."
3   $e \leftarrow Q[Q.head]$ 
4   $Q.head = (Q.head + 1) \bmod Q.length$ 
5  if  $Q.head == Q.tail$ 
6       $Q.isempty \leftarrow TRUE$ 
7  return  $e$ 
```

- ② Faire pointer $Q.head$ vers NIL si la file est vide. La file est pleine lorsque $Q.head = Q.tail$.

Algorithme ENQUEUE-2(Q, e)

```
1  if  $Q.head == Q.tail$ 
2      error "The queue is full : failed to enqueue."
3   $Q[Q.tail] \leftarrow e$ 
4   $Q.tail = (Q.tail + 1) \bmod Q.length$ 
```

Algorithme DEQUEUE-2(Q)

```
1  if  $Q.head == NIL$ 
2      error "The queue is empty : failed to dequeue."
3   $e \leftarrow Q[Q.head]$ 
4   $Q.head = (Q.head + 1) \bmod Q.length$ 
5  if  $Q.head == Q.tail$ 
6       $Q.head \leftarrow NIL$ 
7  return  $e$ 
```

- ③ ⁴ À la place de $Q.head$ et $Q.tail$, on utilise $Q.front$ et $Q.count$. $Q.front$ joue le même rôle que $Q.tail$. L'emplacement de $Q.head$ peut se déduire à partir de l'identité :

$$Q.head + Q.count \equiv Q.tail \pmod{Q.length}.$$

4. L'implémentation des algorithmes suivantes se trouve dans le dossier [src/CH10_Elementary_Data_Structures/Queue/Array_queue](#).

Dans ce cas, la file est vide si $Q.count = 0$ et pleine si $Q.count = Q.length$.

Algorithme 15. ENQUEUE-WITH-COUNTER (Q, e)

```
1  if  $Q.count == Q.length$ 
2      error "The queue is full : failed to enqueue."
3   $Q[Q.front] \leftarrow e$ 
4   $Q.count = Q.count + 1$ 
5   $Q.front = (Q.front + 1) \bmod Q.length$ 
```

Algorithme 16. DEQUEUE-WITH-COUNTER (Q)

```
1  if  $Q.count == 0$ 
2      error "The queue is empty : failed to dequeue."
3   $e \leftarrow Q[(Q.front - Q.count + Q.length) \bmod Q.length]$ 
4   $Q.count = Q.count - 1$ 
5  return  $e$ 
```

N.B. À la ligne 3 de l'algorithme DEQUEUE-WITH-COUNTER, on ajoute $Q.length$ pour assurer que l'indice soit positive. ■

10.1-5 Whereas a stack allows insertion and deletion of elements at only one end, and a queue allows insertion at one end and deletion at the other end, a **deque** (double-ended queue) allows insertion and deletion at both ends. Write four $O(1)$ -time procedures to insert elements into and delete elements from both ends of a deque implemented by an array.

Solution : On reprend les algorithmes ENQUEUE-WITH-COUNTER et DEQUEUE-WITH-COUNTER et les attribues définies. Les algorithmes suivantes complètent une file à une deque.⁵

Algorithme 17. ENQUEUE-AT-OTHER-END (Q, e)

```
1  if  $Q.count == Q.length$ 
2      error "The deque is full : failed to enqueue."
3   $Q[(Q.front - (Q.count + 1) + Q.length) \bmod Q.length] \leftarrow e$ 
4   $Q.count = Q.count + 1$ 
```

5. L'implémentation des algorithmes suivantes se trouve dans le dossier src/CH10_Elementary_Data_Structures/Queue/Array_deque/.

Algorithme 18. DEQUEUE-AT-OTHER-END (Q)

```
1  if  $Q.count == 0$ 
2      error "The deque is empty : failed to dequeue."
3   $Q.front \leftarrow (Q.front - 1 + Q.length) \bmod Q.length$ 
4   $e \leftarrow Q[Q.front]$ 
5   $Q.count = Q.count - 1$ 
6  return  $e$ 
```



10.1-6 Show how to implement a queue using two stacks. Analyse the running time of the queue operations.

10.1-7 Show how to implement a stack using two queues. Analyse the running time of the queue operations.

10.2 Linked lists

10.2-1 Can you implement the dynamic set operation INSERT on a singly linked list in $O(1)$ time? How about DELETE?

10.2-2 Implement a stack using a singly linked list L . The operations PUSH and POP should still take $O(1)$ time.

Solution : La seule possibilité d'implémenter une pile à partir d'une liste simplement chaînée tout en laissant les primitives POP et PUSH en temps constant est de faire correspondre $S.top$ à $L.head$. En effet, l'insertion et la suppression d'élément en tête dans une liste simplement chaînée se fait en $O(1)$. Si la liste est doublement circulaire, on peut faire correspondre $S.top$ au dernier élément de la liste (ce qui simplifie l'implémentation), avec les primitives en temps constant. ■

10.2-3 Implement a queue by a singly linked list L . The operations ENQUEUE and DEQUEUE should still take $O(1)$ time.

10.2-4 As written, each loop iteration in the LIST-SEARCH' procedure requires two tests : one for $x \neq L.nil$ and one for $x.key \neq k$. Show how to eliminate the test for $x \neq L.nil$ in each iteration.

10.2-5 Implement the dictionary operations INSERT, DELETE, and SEARCH using singly linked, circular lists. What are the running times of your procedures?

10.2-6

10.2-7

10.2-8

10.3 Implementing pointers and objects

10.4 Representing rooted trees

Problems

10-1 Comparisons among lists

For each of the four types of lists in the following table, what is the asymptotic worst-case running time for each dynamic-set operation listed?

Solution: On suppose que les listes triées sont triées de manière croissante et que les listes ne sont pas circulaires. x représente le *pointer* qui pointe vers un nœud de la liste et k sa clé.

	unsorted, singly linked	sorted, singly linked	unsorted, doubly linked	sorted, doubly linked
SEARCH(L,k)	$O(n)$	$O(n)$	$O(n)$	$O(n)$
INSERT(L,x)	$O(1)$	$O(n)$	$O(1)$	$O(n)$
DELETE(L,x)	$O(n)$	$O(n)$	$O(1)$	$O(1)$
SUCCESSOR(L,x)	$O(1)$	$O(1)$	$O(1)$	$O(1)$
PREDECESSOR(L,x)	$O(n)$	$O(n)$	$O(1)$	$O(1)$
MINIMUM(L)	$O(n)$	$O(1)$	$O(n)$	$O(1)$
MAXIMUM(L)	$O(n)$	$O(n)$	$O(n)$	$O(n)$



11 Hash Tables

11.1 Direct-address tables

11.1-1 Suppose that a dynamic set S is represented by a direct-address table T of length m . Describe a procedure that finds the maximum element of S . What is the worst-case performance of your procedure?

Solution : Recherche linéaire des éléments non-NIL, $O(m)$. ■

11.1-2 A **bit vector** is simply an array of bits (0s and 1s). A bit vector of length m takes much less space than an array of m pointers. Describe how to use a bit vector to represent a dynamic set of distinct elements with no satellites data. Dictionary operations should run in $O(1)$ time.)

Solution :

Supposons qu'on travaille sur des entiers, alors les procédures suivantes sont $O(1)$ en temps. La procédure BIT-VECTOR-SEARCH retourne TRUE si le bit k vaut 1 et FALSE réciproquement.

Algorithme 19. BIT-VECTOR-SEARCH (b, k)

```
1 return  $b[k] == 1$ 
```

Algorithme 20. BIT-VECTOR-INSERT (b, x)

```
1 return  $b[x] \leftarrow 1$ 
```

Algorithme 21. BIT-VECTOR-DELETE (b, x)

```
1 return  $b[x] \leftarrow 0$ 
```

■

11.1-3

11.1-4

11.2 Hash tables

11.3 Hash functions

11.4 Open addressing

11.5 Perfect Hashing

12 Binary Search Trees

12.1 What is a binary search tree?

12.1-1 For the set of $\{1, 4, 5, 10, 16, 17, 21\}$ of keys, draw binary search trees of heights 2, 3, 4, 5, and 6.

Solution :

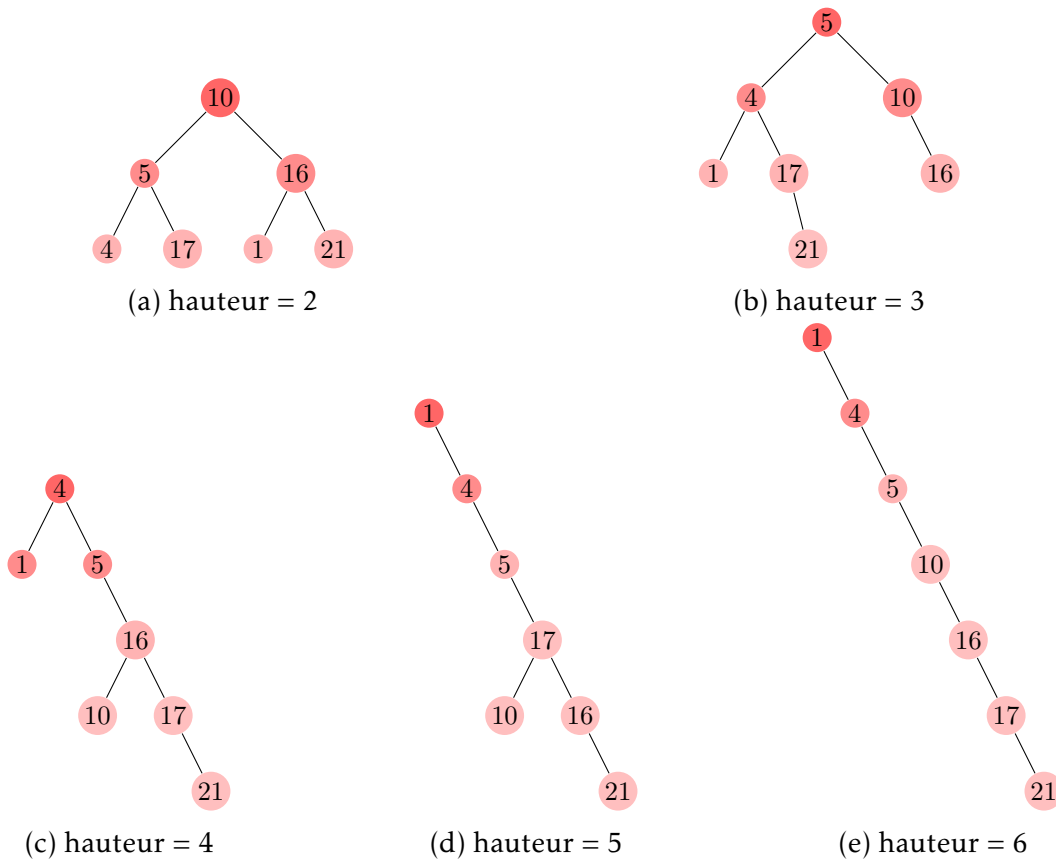


FIGURE 10 – Exemples d'arbre binaire de recherche de hauteur respectivement 2, 3, 4, 5 et 6 rempli par l'ensemble $\{1, 4, 5, 10, 16, 17, 21\}$

12.1-2 What is the difference between the binary-search-tree property and the min-heap property (see page 153)? Can the min-heap property be used to print out the keys of an n -node tree in sorted order in $O(n)$ time? Show how, or explain why not.

Solution : Soient un nœud n , un nœud l du sous-arbre gauche de n et un nœud r du sous-arbre de droite de n . La propriété d'arbre binaire de recherche impose que $l \leq n \leq r$, alors que dans un tas-min, on ne peut seulement affirmer que $l \geq n$ et que $r \geq n$.

Comme la relation entre l et r n'est pas connue dans un tas-min, on ne peut savoir dans quel sous-arbre apparait la prochaine clé en $O(n)$. Le tri par tas permet de faire cela en $O(n \lg n)$. ■

13 Red-Black Trees

14 Augmenting Data Structures

15 Dynamic Programming

16 Greedy Algorithms

17 Amortized Analysis

Troisième partie

Advanced Data Structures

18 B-Trees

19 Fibonacci Heaps

20 van Emde Boas Trees

21 Data Structures for Disjoint Sets

Quatrième partie

Graph Algorithms

22 Elementary Graph Algorithms

22.1 Representations of graphs

22.1-1 *Given an adjacency-list representation of a directed graph, how long does it take to compute the out-degree of every vertex? How long does it take to compute the in-degrees?*

Solution : Soient $G = (V, E)$ un graphe non-orienté, $v \in V$ un de ses sommets et $G.Adj$ sa représentation en liste adjacente. On peut calculer le degré sortant de v en calculant simplement la longueur de $G.Adj[v]$. Ainsi, le calcul de degré sortant de tous les sommets se fait en $\Theta(V + E)$.

Pour calculer le degré entrant de v on doit parcourir $G.Adj$ entièrement. De cette manière, il nous faudra $\Theta(VE)$ en temps. On peut aussi implémenter une liste de taille $|V|$, indexé par ses sommets dans lequel chaque élément est initialisé par 0. Dans ce cas là, il suffit de parcourir $G.Adj$ une fois en comptant chaque occurrence des sommets. Cette méthode a $\Theta(V + E)$ en complexité de temps et $\Theta(V)$ en espace. ■

22.1-2 *Give an adjacency-list representation for a complete binary tree on 7 vertices. Give an equivalent adjacency-matrix representation. Assume that vertices are numbered from 1 to 7 as in a binary heap.*

Solution :

1 : 2 3
 2 : 4 5
 3 : 6 7
 4 : 2
 5 : 2
 6 : 3
 7 : 3

$$\begin{pmatrix} 0 & 1 & 1 & 0 & 0 & 0 & 0 \\ 0 & 0 & 0 & 1 & 1 & 0 & 0 \\ 0 & 0 & 0 & 0 & 0 & 1 & 1 \\ 0 & 1 & 0 & 0 & 0 & 0 & 0 \\ 0 & 1 & 0 & 0 & 0 & 0 & 0 \\ 0 & 0 & 1 & 0 & 0 & 0 & 0 \\ 0 & 0 & 1 & 0 & 0 & 0 & 0 \end{pmatrix}$$

(a) Liste adjacente

(b) Matrice adjacente

FIGURE 11 – Représentation de l'arbre complet de 7 sommets en liste adjacente et matrice adjacente

22.1-3 *The **transpose** of a directed graph $G = (V, E)$ is the graph $G^T = (V, E^T)$, where $E^T = \{(v, u) \in V \times V : (u, v) \in E\}$. Thus, G^T is G with all its edges reversed. Describe efficient algorithms for*

computing G^T from G , for both the adjacency-list and adjacency-matrix representations of G . Analyze the running times of your algorithms.

Solution : Pour transposer une liste adjacente, il est nécessaire de la parcourir entièrement, donc la complexité est de $\Theta(V + E)$.

Algorithme 22. TRANSPOSE-ADJ-LIST (Adj)

```
1 Create a new adjacency-list newAdj
2 for each linked-list i of Adj
3     for each element j of Adj[i]
4         newAdj[j].append(i)
```

Quant à une matrice adjacente, il suffit de parcourir les éléments supérieurs et les échanger à leur élément symétrique. De cette manière, il y a au total $\frac{n(n-1)}{2}$ d'échanges, d'où la complexité $\Theta(V^2)$.

Algorithme 23. TRANSPOSE-ADJ-MATRIX (M)

```
1 for i ← 1 to M.size
2     for j ← i + 1 to M.size
3         swap(M[i, j], M[j, i])
```

■

22.1-4 Given an adjacency-list representation of a multigraph $G = (V, E)$, describe an $O(V + E)$ -time algorithm to compute the adjacency-list representation of the « equivalent » undirected graph $G' = (V, E')$, where E' consists of the edges in E with all multiple edges between two vertices replaced by a single edge and with all self-loops removed.

Solution :

Algorithme 24. MULTIGRAPH-TO-UNDIGRAPH (*Adj*)

```

1  Create an array A having length |V|
2  for each linked-list Adj[i]
3      init(A) // initialize all element to FALSE
4      for each element j of Adj[i]
5          e = Adj[i][j]
6          if e == i // remove loop
7              Adj[i].remove(j)
8          else
9              if A[e] == TRUE // remove multiple edge
10                 Adj[i].remove(j)
11             else
12                 A[e] ← TRUE

```

■

22.1-5 The *square* of a directed graph $G = (V, E)$ is the graph $G^2 = (V, E^2)$ such that $(u, v) \in E^2$ if and only if G contains a path with at most two edges between u and v . Describe efficient algorithms for computing G^2 from G for both the adjacency-list and adjacency-matrix representations of G . Analyze the running times of your algorithms.

Solution : Dans le cas de matrice adjacente, on peut savoir l'existence d'une arrête en temps constant. Pour vérifier qu'il existe une arrête $(u, w) \in G^2$, on cherche toute paire d'arrête (u, v) avec v le sommet intermédiaire, puis en cas d'existence de $(u, v_0) \in G$, on cherche toute paire d'arrête $(v_0, w) \in G$. D'une telle manière, l'algorithme prend $\Theta(E^3)$.

Algorithme 25. SQUARE-OF-ADJ-MATRIX (*M*)

```

1  Create a matrix  $M_2$  which have the same dimension of M
2  for each vertex i in M
3      for each vertex j in M[i]
4          if M[i][j] == 1
5              for each element k in M[j]
6                  if M[i][k] == 1
7                       $M_2[i][k] \leftarrow 1$ 
8                       $M_2[i][k] \leftarrow 1$ 

```

Algorithm 26. SQUARE-OF-ADJ-LIST (*Adj*)

```
1 Create a new adjacency-list newAdj
2 for each linked-list i of Adj
3     for each element j of Adj[i]
4         newAdj[i].append(j) // Add 1-length path
5     for each element k of Adj[j]
6         newAdj[i].append(k) // Add 2-length path
```

■

22.1-6 Most graph algorithms that take an adjacency-matrix representation as input require time $\Omega(V^2)$, but there are some exceptions. Show how to determine whether a directed graph G contains a **universal sink** – a vertex with in-degree $|V| - 1$ and out-degree 0 – in time $O(V)$, given an adjacency matrix for G .

Solution : On cherche, dans la matrice adjacente, une colonne qui contient $|V| - 1$ 1. De cette manière, il suffit de parcourir qu'une fois le graphe entier, d'où la complexité $O(V)$.

Algorithm 27. HAVE-UNIVERSAL-SINK (M)

```
1 for each vertex in
```

■

22.1-7 The **incidence matrix** of a directed graph $G = (V, E)$ with no self-loops is a $|V| \times |E|$ matrix $B = b_{ij}$ such that

$$b_{ij} = \begin{cases} -1 & \text{if edge } j \text{ leaves vertex } i, \\ 1 & \text{if edge } j \text{ enters vertex } i, \\ 0 & \text{otherwise.} \end{cases}$$

Describe what the entries of the matrix product BB^T represent, where B^T is the transpose of B .

22.1-8 Suppose that instead of a linked list, each array entry $Adj[u]$ is a hash table containing the vertices v for which $(u, v) \in E$. If all edge lookups are equally likely, what is the expected time to determine whether an edge is in the graph? What disadvantages does this scheme have? Suggest an alternate data structure for each edge list that solves these problems. Does your alternative have disadvantages compared to the hash table?

Solution :

■

22.2 Breadth-first search

23 Minimum Spanning Trees

24 Single-Source Shortest Paths

25 All-Pairs Shortest Paths

26 Maximum Flow

26.1 Flow networks

26.1-1 Show that splitting an edge in a flow network yields an equivalent network. More formally, suppose that flow network G contains edge (u, v) and we create a new flow network G' by creating a new vertex x and replacing (u, v) by new edges (u, x) and (x, v) with $c(u, x) = c(x, v) = c(u, v)$. Show that a maximum flow in G' has the same value as a maximum flow in G .

Solution : Soit un réseau de flot G , une arête (u, v) et f_G un flot associé. Par construction de G' et conservation d'un flot, on a $f_G(u, v) = f_{G'}(u, x) = f_{G'}(x, v)$, donc $|f_G| = |f_{G'}|$.

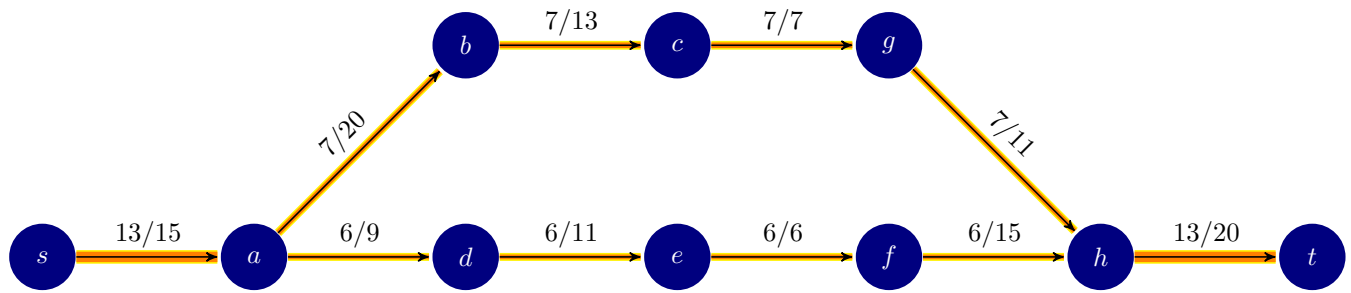
Réciproquement, soit un réseau G' obtenu par une division d'arête en (u, x) et (x, v) . Comme il n'y a qu'un flot entrant et sortant en x , on a toujours par conservation $f_{G'}(u, x) = f_{G'}(x, v)$. Sachant que $c(u, x) = c(x, v)$, on peut fusionner les arêtes (u, x) et (x, v) tout en laissant $|f_{G'}|$ inchangée.

Plus généralement, dans un réseau G ayant un sommet x tel que $d^+(x) = d^-(x) = 1$, en posant $c(u, v) = \min(c(u, x), c(x, v))$ on peut fusionner les arêtes (u, x) et (x, v) tout en laissant $|f_G|$ inchangée (cf. fig. 12).

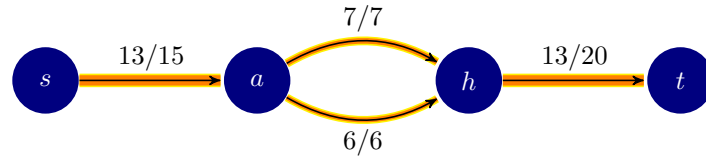


FIGURE 12 – Fusionnement d'arête

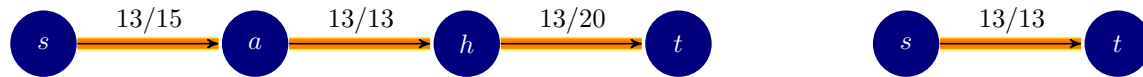
Ceci est valide sur un chemin dans lequel tous les sommets intermédiaires x vérifient $d^+(x) = d^-(x) = 1$ (cf. fig. 13).



(a) Un réseau G' pouvant être réduit à un réseau équivalent G , dans le sens où leur flot maximal sont égaux.



(b) Fusion du chemin (a, b, c, g, h) et du chemin (a, d, e, f, h) en (a, h) .



(c) Fusion des deux arêtes (a, h) .

(d) Le réseau G final.

FIGURE 13 – Fusionnement de chemin unidirectionnel



26.1-2

26.1-3

26.1-4

26.1-5

26.1-6

26.1-7

27 Multithreaded Algorithms

28 Matrix Operations

29 Linear Programming

30 Polynomials and the FFT

31 Number-Theoretic Algorithms

32 String Matching

32.1 The naive string-matching algorithm

32.1-1 Show the comparisons the naive string matcher makes for the pattern $P = 0001$ in the text $T = 0000100010100001$.

Solution :

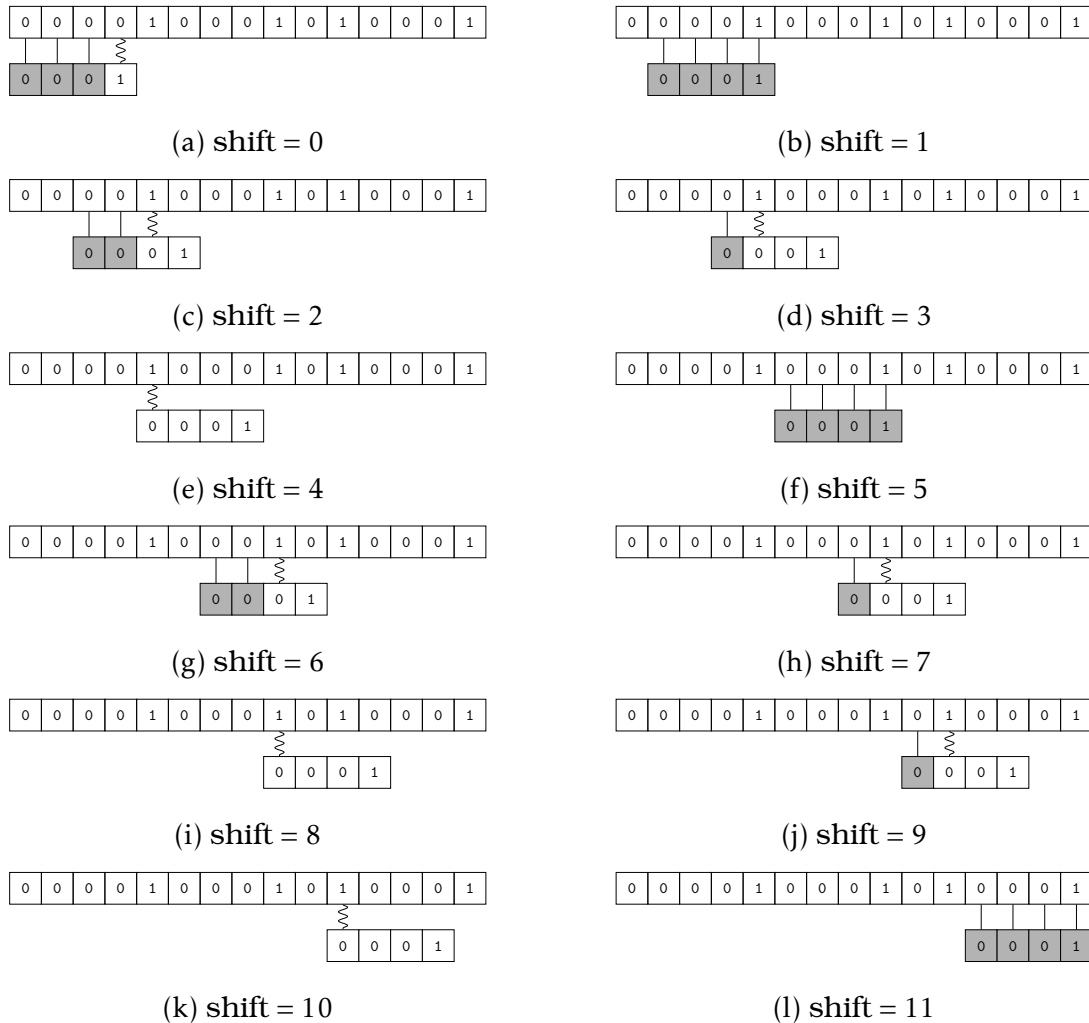


FIGURE 14 – Recherche de la sous chaîne 0001 dans 0000100010100001 avec l’algorithme naïve. ■

32.1-2 Suppose that all characters in the pattern P are different. Show how to accelerate NAIVE-STRING-MATCHER to run in time $O(n)$ on an n -character text T .

Solution :

Algorithm 28. NAIVE-STRING-MATCHER-DIFF (T, P)

```
1   $n = T.length, m = P.length, s = 0$ 
2  while  $s \leq n - m$ 
3      if  $P[1..m] == T[s+1..s+m]$ 
4          print "Pattern occurs with shift"  $s$ 
5           $s \leftarrow s + m$ 
6      else
7           $s \leftarrow s + 1$ 
```



32.1-3 Suppose that pattern P and text T are randomly chosen strings of length m and n , respectively, from the d -ary alphabet $\Sigma_d = \{0, 1, \dots, d - 1\}$, where $d \geq 2$. Show that the expected number of character-to-character comparisons made by the implicit loop in line 4 of the naive algorithm is

$$(n - m + 1) \frac{1 - d^{-m}}{1 - d^{-1}} \leq 2(n - m + 1)$$

over all executions of this loop. (Assume that the naive algorithm stops comparing characters for a given shift once it finds a mismatch or matches the entire pattern.) Thus, for randomly chosen strings, the naive algorithm is quite efficient.

Solution :



32.1-4 Suppose we allow the pattern P to contain occurrences of a gap character \diamond that can match an arbitrary string of characters (even one of zero length). For example, the pattern $ab\diamond ba\diamond c$ occurs in the text $cabcbbacbacab\text{abstract}$ as

$c \underbrace{ab} \underbrace{cc} \underbrace{ba} \underbrace{cba} \underbrace{c} \underbrace{ab}$
 $\quad \quad \quad ab \quad \diamond \quad ba \quad \diamond \quad c$
and as

$c \underbrace{ab} \underbrace{ccbac} \underbrace{ba} \underbrace{c} \underbrace{ab}$
 $\quad \quad \quad ab \quad \diamond \quad ba \quad \diamond \quad c$

Note that the gap character may occur an arbitrary number of times in the pattern but not at all in the text. Give a polynomial-time algorithm to determine whether such a pattern P occurs in a given text T , and analyze the running time of your algorithm.

Solution :

Algorithme 29. NAIVE-STRING-MATCHER-WITH-GAP (T, P, gap)

```

1   $n = T.length, m = P.length, s = 0$ 
2  for each  $P_i$  in partition P delimited by  $gap$  character
3       $m_i = P_i.length$ 
4      while  $s \leq n - m_i$ 
5          if  $P_i[1..m_i] == T[s + 1..s + m_i]$ 
6               $shift[i] \leftarrow s$ 
7              break
8           $s \leftarrow s + 1$ 
9  if  $s \leq n - m_{last}$ 
10     print "Pattern occurs with shift"  $shift[1]$ 

```

Notons p le nombre des patterns P_i , m_{\min} et m_{\max} les patterns P_i respectivement plus court et plus long. Le *parsing* des P_i nécessite $O(m)$. Puis, en considérant le pseudocode, la recherche de pattern avec trou est en $O(p \cdot (n - m_{\min} + 1) \cdot m_{\max} + m)$.

Supposons maintenant qu'il n'y a pas de \diamond consécutive dans P et que les sous patterns sont de taille équitable, *i.e.* $\forall i \leq p, m_i = \frac{m-p+1}{p}$. Alors, on a

$$O(p \cdot (n - m_{\min} + 1) \cdot m_{\max} + m) = O(nm).$$

■

32.2 The Rabin-Karp algorithm

32.2-1 Working modulo $q = 11$, how many spurious hits does the Rabin-Karp matcher encounter in the text $T = 3141592653589793$ when looking for the pattern $P = 26$?

Solution : Trois, car $26 \equiv 15 \equiv 59 \equiv 92 \pmod{11}$.

■

32.2-2 How would you extend the Rabin-Karp method to the problem of searching a text string for an occurrence of any one of a given set of k patterns? Start by assuming that all k patterns have the same length. Then generalize your solution to allow the patterns to have different lengths.

Solution :

Algorithm 30. RABIN-KARP-MATCHER- k -PATTERNS-SAME-LENGTH (T, P, k, d, q)

```

1   $n = T.length, m = P.length, h = d^{m-1} \bmod q, t = 0$ 
2  for  $i = 0$  to  $k$ 
3       $p[i] = 0$ 
4  for  $i = 0$  to  $m$  // Preprocessing
5      for  $j = 0$  to  $k$ 
6           $p[j] = (d \cdot p[j] + P[j][i]) \bmod q$ 
7       $t = (d \cdot t + T[i]) \bmod q$ 
8  for  $s = 0$  to  $n - m$  // Matching
9      for  $j = 0$  to  $k$ 
10         if  $p[j] == t$ 
11             if  $P[j][1..m] == T[s+1..s+m]$ 
12                 print "Pattern"  $P[j]$  "occurs with shift"  $s$ 
13         if  $s < n - m$ 
14              $t = (d \cdot (t - T[s+1] \cdot h) + T[s+m+1]) \bmod q$ 

```

Algorithm 31. RABIN-KARP-MATCHER-WITH- k -PATTERNS-DIFF-LENGTH (T, P, k, d, q)

```

1   $n = T.length$ 
2  for  $i = 0$  to  $k$ 
3       $p[i] = 0$ 
4       $t[i] = 0$ 
5       $m_i = P[i].length$ 
6       $h[i] = d^{m_i-1} \bmod q$ 
7  for  $i = 0$  to  $m_{\max}$  // Preprocessing
8      for  $j = 0$  to  $k$ 
9          if  $i < m_j$ 
10              $p[j] = (d \cdot p[j] + P[j][i]) \bmod q$ 
11              $t[j] = (d \cdot t[j] + T[i]) \bmod q$ 
12  for  $s = 0$  to  $n - m_{\min}$  // Matching
13      for  $j = 0$  to  $k$ 
14         if  $p[j] == t$ 
15             if  $P[j][1..m_j] == T[s+1..s+m_j]$ 
16                 print "Pattern"  $P[j]$  "occurs with shift"  $s$ 
17         if  $s < n - m_{\min}$ 
18             for  $i = 0$  to  $k$ 
19                  $t[i] = (d \cdot (t[i] - T[s+1] \cdot h[i]) + T[s+m[i]+1]) \bmod q$ 

```

■

32.2-4

33 Computational Geometry

34 NP-Completeness

35 Approximation Algorithms

Cinquième partie

Appendix : Mathematical Background

A Summation

A.1 Summation formulas and properties

A.1-1 Find a simple formula for $\sum_{k=1}^n (2k - 1)$

Solution :

$$\begin{aligned}\sum_{k=1}^n (2k - 1) &= n(n + 1) - n \\ &= n^2.\end{aligned}$$

■

A.1-2 ★ Show that $\sum_{k=1}^n 1/(2k - 1) = \ln(\sqrt{n}) + \mathcal{O}(1)$ by manipulating the harmonic series.

Solution :

$$\begin{aligned}\sum_{k=1}^n \frac{1}{2k - 1} &= H_n - \frac{1}{2} \sum_{k=1}^n \frac{1}{k} \\ &= \frac{1}{2} H_n \\ &= \ln(\sqrt{n}) + \mathcal{O}(1).\end{aligned}$$

■

A.1-3 Show that $\sum_{k=0}^{\infty} k^2 x^k = x(1 + x)/(1 - x)^3$ for $0 < |x| < 1$.

Solution :

$$\begin{aligned}\sum_{k=0}^{\infty} k^2 x^k &= x \left(\frac{x}{(1 - x)^2} \right)' \\ &= \frac{x}{(1 - x)^2} + \frac{2x}{(1 - x)^3} \\ &= \frac{x(1 + x)}{(1 - x)^3}.\end{aligned}$$

■

A.1-4 ★ Show that $\sum_{k=0}^{\infty} (k - 1)/2^k = 0$.

Solution : Soit $S = \sum_{k=0}^{\infty} \frac{k-1}{2^k}$. Alors $2S = \sum_{k=0}^{\infty} \frac{k-1}{2^{k-1}} = -2 + \sum_{k=0}^{\infty} \frac{k}{2^k}$. Donc

$$\begin{aligned} 2S - S &= -2 + \sum_{k=0}^{\infty} \frac{1}{2^k} \\ &= 0. \end{aligned}$$

■

A.1-5 ★ Evaluate the sum $\sum_{k=1}^{\infty} (2k+1)x^{2k}$ for $|x| < 1$.

Solution :

$$\begin{aligned} \sum_{k=1}^{\infty} (2k+1)x^{2k} &= \left(\sum_{k=1}^{\infty} x^{2k+1} \right)' \\ &= \left(\frac{x}{1-x^2} - x \right)' \\ &= \frac{3x^2}{1-x^2} + \frac{2x^4}{(1-x^2)^2} \end{aligned}$$

■

A.1-6 Prove that $\sum_{k=1}^n \mathcal{O}(f_k(i)) = \mathcal{O}\left(\sum_{k=1}^n f_k(i)\right)$ by using the linearity property of summations.

Solution : Soit pour tout $k \in \llbracket 1, n \rrbracket$, $g_k \in \mathcal{O}(f_k)$, autrement dit $g_k \leq c_k f_k$ est vérifié à partir d'un rang N_k avec $c_k > 0$. On a donc $\sum_{k=1}^n g_k \leq \sum_{k=1}^n c_k f_k$ vérifié à partir d'un rang $N = \max(N_1, \dots, N_n)$ et $c = \max(c_1, \dots, c_n)$. D'où $\sum_{k=1}^n g_k \in \mathcal{O}\left(\sum_{k=1}^n f_k\right)$. ■

A.1-7 Evaluate the product $\prod_{k=1}^n 2 \cdot 4^k$.

Solution : Soit $P = \prod_{k=1}^n 2 \cdot 4^k = \prod_{k=1}^n 2^{2k+1}$. On a

$$\begin{aligned} \lg P &= \sum_{k=1}^n 2k+1 \\ &= n(n+2) \end{aligned}$$

Finalement, $P = 2^{n(n+2)}$. ■

A.1-8 ★ Evaluate the product $\prod_{k=2}^n (1 - 1/k^2)$.

Solution :

$$\begin{aligned}\prod_{k=2}^n \left(1 - \frac{1}{k^2}\right) &= \prod_{k=2}^n \frac{k-1}{k} \cdot \frac{k+1}{k} \\ &= \frac{1}{2} \cdot \frac{n+1}{n} \\ &= \frac{n+1}{2n}.\end{aligned}$$

■

A.2 Bounding summations

A.2-1 Show that $\sum_{k=1}^n 1/k^2$ is bounded above by a constant.

Solution :

$$\begin{aligned}\sum_{k=1}^n \frac{1}{k^2} &= 1 + \sum_{k=2}^n \frac{1}{k^2} \\ &\leq 1 + \int_1^n \frac{1}{x^2} dx \\ &= 1 + \left(1 - \frac{1}{n}\right) \\ &= 2 - \frac{1}{n} \\ &\leq 2.\end{aligned}$$

■

A.2-2 Find an asymptotic upper bound on the summation $\sum_{k=0}^{\lfloor \lg n \rfloor} \lceil n/2^k \rceil$.

A.2-3 Show that the n th harmonic number is $\Omega(\lg n)$ by splitting the summation.

A.2-4 Approximate $\sum_{k=1}^n k^3$ with an integral.

Solution : On a

$$\int_0^n x^3 dx \leq \sum_{k=1}^n k^3 \leq \int_1^{n+1} x^3 dx$$

ce qui donne

$$\frac{n^4}{4} \leq \sum_{k=1}^n k^3 \leq \frac{(n+1)^4 - 1}{4}.$$

Ainsi, $\sum_{k=1}^n k^3 = \Theta(n^4)$.

■

A.2-5 Why didn't we use the integral approximation (A.12) directly on $\sum_{k=1}^n 1/k$ to obtain an upper bound on the n th harmonic number?

Solution : Car la primitive de $1/x$ n'est pas définie en 0. ■

Problems

A-1 Bounding summations

Give asymptotically tight bounds on the following summations. Assume that $r > 0$ and $s > 0$ are constants.

a. $\sum_{k=1}^n k^r.$

b. $\sum_{k=1}^n \lg^s k.$

c. $\sum_{k=1}^n k^r \lg^s k$

Solution : ■

B Sets, Etc.

C Counting and Probability

C.1 Counting

C.1-1 How many k -substrings does an n -string have? (Consider identical k -substrings at different positions to be different.) How many substrings does an n -string have in total?

Solution : Il y a $S_k = n - k + 1$ k -sous-chaînes dans une n -chaîne. Le nombre total de sous-chaînes dans une n -chaîne est donc

$$\sum_{k=1}^n S_k = \frac{n(n+1)}{2}.$$

■

C.1-2 An n -input, m -output boolean function is a function from $\{\text{TRUE}, \text{FALSE}\}^n$ to $\{\text{TRUE}, \text{FALSE}\}^m$. How many n -input, 1-output boolean functions are there? How many n -input, m -output boolean functions are there?

Solution : Le cardinal de l'ensemble de fonction de E dans F est $|F|^{|E|}$. Particulièrement pour les fonctions booléennes, on a :

- pour $E = \{\text{TRUE}, \text{FALSE}\}^n$ et $F = \{\text{TRUE}, \text{FALSE}\}$, $|F|^{|E|} = 2^{2^n}$;
- pour $E = \{\text{TRUE}, \text{FALSE}\}^n$ et $F = \{\text{TRUE}, \text{FALSE}\}^m$, $|F|^{|E|} = (2^m)^{2^n}$.

■

C.1-3 In how many ways can n professors sit around a circular conference table? Consider two seatings to be the same if one can be rotated to form the other.

Solution : On considère tout d'abord le cas de sièges rangés linéairement. Dans ce cas, on a $n!$ arrangements. Dans le cas circulaire, on peut définir une relation d'équivalence \mathcal{R} qui regroupe les arrangements qui peuvent être obtenus par une permutation circulaire. De ce fait, il y a exactement n éléments dans chaque classe. Le nombre d'arrangement de sièges placés circulairement est en fait le cardinal de l'espace quotienté par \mathcal{R} . Donc il y a $\frac{n!}{n} = (n-1)!$ arrangements. ■

C.1-4 In how many ways can we choose three distinct numbers from the set $\{1, 2, \dots, 99\}$ so that their sum is even?

Solution : Pour obtenir un nombre pair en sommant trois nombres distincts de l'ensemble $E = \{1, 2, \dots, 99\}$, il y a deux possibilités :

- pair + pair + pair = pair ;

— impair + impair + pair = pair.

Dans l'ensemble E, il y a 50 nombres impairs et 49 nombres pairs. Finalement, le nombre de combinaisons est :

$$\binom{49}{3} + \binom{50}{2} \binom{49}{1} = 78449.$$

■

C.1-5 Prove the identity

$$\binom{n}{k} = \frac{n}{k} \binom{n-1}{k-1}$$

for $0 < k \leq n$.

Solution :

$$\binom{n}{k} = \frac{n!}{k!(n-k)!} = \frac{n \cdot (n-1)!}{k(k-1)!((n-1)-(k-1))!} = \frac{n}{k} \binom{n-1}{k-1}.$$

■

C.1-6 Prove the identity

$$\binom{n}{k} = \frac{n}{n-k} \binom{n-1}{k}$$

for $0 \leq k < n$.

Solution :

$$\binom{n}{k} = \frac{n}{n-k} \cdot \frac{(n-1)!}{k!((n-1)-k)!} = \binom{n-1}{k}.$$

■

C.1-7 To choose k objects from n , you can make one of the objects distinguished and consider whether the distinguished object is chosen. Use this approach to prove that

$$\binom{n}{k} = \binom{n-1}{k} + \binom{n-1}{k-1}.$$

Solution :

On fixe un élément parmi les n et on en choisit k . Si l'élément est choisi, il y a $\binom{n-1}{k-1}$ moyens de choisir les autres ; sinon les k éléments choisis sont inclus dans les $n-1$ restants et il y a $\binom{n-1}{k}$ moyens de choisir. Conclusion : $\binom{n}{k} = \binom{n-1}{k} + \binom{n-1}{k-1}$, d'où ce que montre la figure (15).

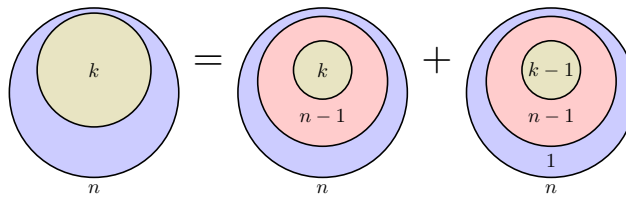


FIGURE 15 – « combinaison de k parmi n »



C.1-8 Using the result of Exercise C.1-7, make a table for $n = 0, 1, \dots, 6$ and $0 \leq k \leq n$ of the binomial coefficients $\binom{n}{k}$ with $\binom{0}{0}$ at the top, $\binom{1}{0}$ and $\binom{1}{1}$ on the next line, and so forth. Such a table of binomial coefficients is called **Pascal's triangle**.

Solution :

1									
1			1						
1		2		1					
1	3	3		1					
1	4	6		4	1				
1	5	10		10		5	1		
1	6	15		20		15		6	1

FIGURE 16 – Triangle de Pascal



C.1-9 Prove that

$$\sum_{i=1}^n i = \binom{n+1}{2}.$$

Solution :

$$\sum_{i=1}^n i = \frac{n(n+1)}{2} = \frac{(n+1)!}{(n-2)!2!} = \binom{n+1}{2}.$$



C.1-10 Show that for any integers $n \geq 0$ and $0 \leq k \leq n$, the expression $\binom{n}{k}$ achieves its maximum value when $k = \lfloor n/2 \rfloor$ or $k = \lceil n/2 \rceil$.

Solution : Il y a deux points de vue :

1. la symétrie : $\binom{n}{k} = \binom{n}{n-k}$;
2. la croissance : comparons $\binom{n}{k}$ et $\binom{n}{k+1}$:

$$\begin{aligned}\binom{n}{k} < \binom{n}{k+1} &\iff \frac{n!}{k!(n-k)!} < \frac{n!}{(k+1)!(n-k-1)!} \\ &\iff k!(n-k)! > (k+1)!(n-k-1)! \\ &\iff (n-k)! > (k+1)(n-k-1)! \\ &\iff n-k > k+1 \\ &\iff n > 2k+1 \\ &\iff k < \frac{n-1}{2}.\end{aligned}$$

En réunissant ces deux résultats, à n fixé, on observe que les coefficients $\binom{n}{k}$ pour $k = 0, \dots, \lfloor \frac{n}{2} \rfloor$ croissent et atteignent une valeur maximale lorsque $k = \lfloor n/2 \rfloor$ et $k = \lceil n/2 \rceil$ (par symétrie). ■

C.1-11 ★

C.1-12 ★

C.1-13 ★

C.1-14 ★

C.1-15 ★

D Matrices

D.1 Matrices and matrix operations

D.1-1 Show that if A and B are symmetric $n \times n$ matrices, then so are $A + B$ and $A - B$.

Solution : Il est clair que $A \pm B = A^T \pm B^T = (A \pm B)^T$. ■

D.1-2 Prove that $(AB)^T$ and that $A^T A$ is always a symmetric matrix.

Solution : Supposons que A et B sont respectivement de type (n, m) et (m, p) . On a Alors

$$\begin{aligned}(AB)^T_{ij} &= \left(\sum_{k=1}^m a_{jk} b_{ki} \right)_{\substack{i \leq p \\ j \leq n}} \\ &= \left(\sum_{k=1}^m \hat{b}_{ik} \hat{a}_{kj} \right)_{\substack{i \leq p \\ j \leq n}} \\ &= B^T A^T\end{aligned}$$

où $B^T = (\hat{b}_{ij})$ et $A^T = (\hat{a}_{ij})$. Ainsi $(A^T A)^T = A^T A$, donc $A^T A$ est symétrique.

On peut aussi voir la matrice A_{nm} comme m vecteurs colonne $(a_i)_{i \leq m}$ concaténés. Le produit $C := A^T A$ n'est rien d'autre que le produit scalaire : $\forall i, j \in \llbracket 1, n \rrbracket, c_{ij} = \langle a_i, a_j \rangle$. Le produit scalaire est une forme bilinéaire définie positif *symétrique*. ■

D.1-3 Prove that the product of two lower-triangular matrices is lower-triangular.

Solution : Soit A, B deux matrices triangulaires inférieurs et posons $C = AB$. Montrons que pour tout $i < j, c_{ij} = 0$:

$$\begin{aligned}c_{ij} &= \sum_{k=1}^n a_{ik} b_{kj} \\ &= \sum_{k=1}^{j-1} a_{ik} b_{kj} + \sum_{k=j}^n a_{ik} b_{kj} \\ &= 0.\end{aligned}$$

D.1-4

D.2 Basic matrix properties

Références

[1] Wikipedia. [Convex hull](#) — Wikipedia, The Free Encyclopedia, 2017.